

บทที่ 4

เคมีของธาตุและสารประกอบของธาตุแลนทานอิด์, ธาตุแอคติโนิด์ และธาตุกรานต์แอคติโนิด์

(Chemistry of Lanthanides, Actinides, and Transactinides Elements
and Their Compounds)

ในบทนี้เป็นการกล่าวถึงเคมีที่สำคัญของธาตุแลนทานอิด์ (Ce ถึง Yb) และธาตุแอคติโนิด์ (Ac ถึง No) นอกจากนี้จะไก้ความรู้เบื้องต้นของธาตุกรานต์แอคติโนิด์ ซึ่งเป็นธาตุที่มีelectronegativity จากระดับธาตุแอคติโนิด์ (heavier congeners) ซึ่งธาตุเหล่านี้อาจไม่มีการสังเคราะห์เขียว่าไก้กรอบทุกธาตุในอนาคต

เนื่องจากธาตุแลนทานอิด์ และธาตุแอคติโนิด์ เป็นธาตุในกลุ่ม f-block elements ภายใน เนื่องจากที่มีส่วนของกลุ่มนี้ อาจมีความคล้ายคลึงกันบ้าง หรืออาจแตกต่างกันบ้าง ในบางกรณี ส่วนใหญ่ความแตกต่างของธาตุที่มีส่วนของกลุ่มนี้ เนื่องมาจากการแยกต่างของ $4f$ ออร์บิทัล และ $5f$ ออร์บิทัลยังคงอยู่ แม้ที่สำคัญของธาตุที่มีส่วนของกลุ่มนี้ จึงจะพยายามกล่าวควบคู่ไปด้วยกัน เพื่อเป็นการเปรียบเทียบในทางของนิယามของธาตุ โครงสร้างอิเล็กตรอน (Electronic structure) รัศมีอะตอม รัศมีอิอ่อน และการหดขนาดแยบแยบทาง (Radii and Lanthanide contraction) พัฒนาของ การเกิดอิอ่อน (Ionization energy) ออฟซิตेशันสเตต (Oxidation States) สเปกตรากุกอกลีน (Absorption Spectra) และเคมีของสารประกอบโภชณคิเนชัน (Coordination Compounds) ของธาตุที่มีส่วนของกลุ่มนี้

4.1 นิယามของธาตุแลนทานอิด์ และธาตุแอคติโนิด์

ธาตุแลนทานอิด์ คือธาตุที่มีอิเล็กตรอนอยู่ในเก็บใน $4f$ ออร์บิทัล (partly filled 4f orbital) ไก้แก่ ธาตุในกลุ่มที่ 6 ในตารางพีริโอเดต กังหันธาตุเรียม (Ce) ที่มีelectronegativity 58 จนถึงธาตุอิทธิว่อง (Yb) ที่มีelectronegativity 70 รวมทั้งหมดเป็นจำนวน 13 ธาตุ

การที่ธาตุกัมมันนี้ชื่อว่า ชาตุแคนทาน์ เป็นของมาจากการที่ในกัมมนี มีคุณสมบัติทางเคมีคล้ายกับชาตุแคนทาน์ จึงใช้เรียกราดูทั้งกัมมัน โดยรวมชาตุแคนทาน์มีชื่อว่า ชาตุแคนทาน์

ชาตุแยกหิน์ คือ ชาตุที่มีอิเล็กตรอนอยู่ไม่เต็มใน 5f ออร์บิทัล (partly filled 5f-orbital) ให้แก่ ชาตุในกลุ่มที่ 7 ที่มาจากชาตุแยกหิน์ เนียม (Actinium) ในตาราง พิริโอดิก เป็นจำนวน 14 ชาตุ คือ ชาตุที่มีเลขอะคอดอมิก 89 ถึง 102 (Ac ถึง No.)

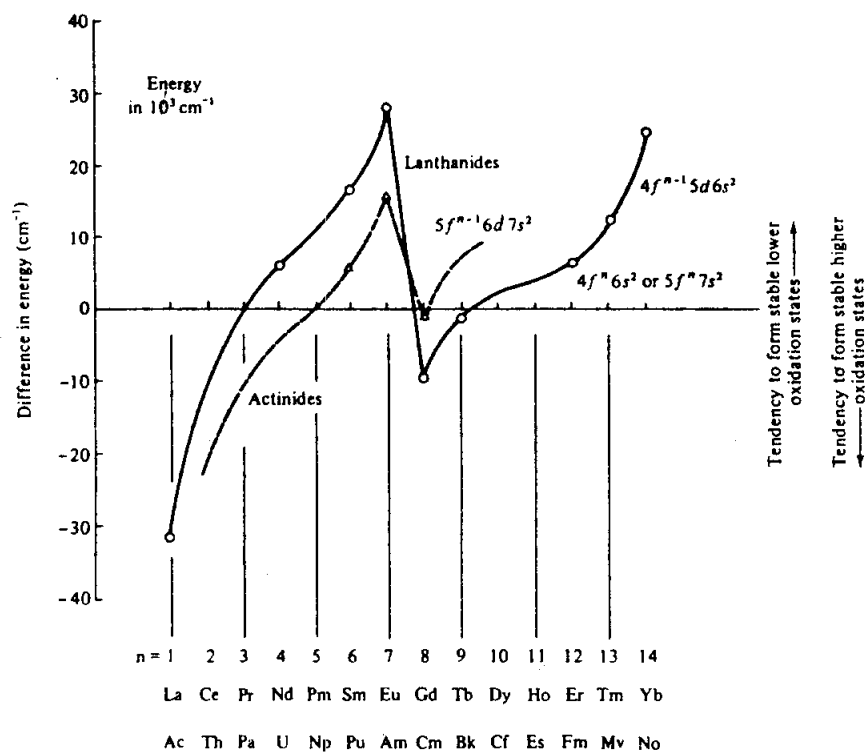
ความจริงชาตุแยกหิน์นี้ มีคุณสมบัติที่ต่างจากชาตุแยกหิน์เนียม ก็ยังคงเรียก ว่า ชาตุแยกหิน์ การที่เป็นเช่นนี้ เป็นของชาตุกัมมันซึ่งรวมทั้งชาตุแยกหิน์เนียม ล้วนให้เป็นชาตุกัมมันท้าพรังสี (Radioisotope elements) ซึ่ง กาลศึกษาเคมีของชาตุกัมมันนี้ ในสมัยก่อนใช้การทดลองเบื้องต้น โดย Seaborg* (1944) ให้ความเห็นว่า ชาตุกัมมันนี้ มีคุณสมบัติคล้ายกันทั้งกัมมัน และคล้ายกันมากที่เนียมด้วย (เนื่องจากทั้งสองชาตุในกัมมันแคนทาน์) แท้ที่มามีความก้าวหน้าทางวิทยาศาสตร์และเทคโนโลยี มีมากขึ้น จึงให้พบว่า ชาตุในกัมมันแยกหิน์นี้มีคุณสมบัติแตกต่างกัน และแยกกัน จาก ชาตุแยกหิน์เนียมด้วย อย่างไรก็ตาม ชื่อของชาตุกัมมันนี้ ก็ยังคงเรียกว่า ชาตุแยกหิน์ในที่นี้เป็นที่ๆ จัดกันและยอมรับนานา民族

4.2 โครงสร้าง อิเล็กตรอน (Electronic Structure)

เมื่อเปรียบเทียบพลังงานระหว่าง 5d ออร์บิทัล และ 4f ออร์บิทัล ของชาตุแคนทาน์ กับ 6d ออร์บิทัล และ 5f ออร์บิทัล ของชาตุแยกหิน์ จะพบว่า ชาตุทั้งสองกัมมนี มีลักษณะความโน้มเอียงของพลังงานทั้งสองคล้ายคลึงกัน (ดูป้ายที่ 4.1) การจัดเรียงอิเล็กตรอนสำหรับชาตุทั้งสองกัมมนีจึง คล้ายกันด้วย ตารางที่ 4.1 และ ตารางที่ 4.2 แสดงให้เห็นถึงพลังงานเปรียบเทียบระหว่าง $f^{n-1} d^2$ ออร์บิทัล

*G.T Seaborg , Actinides Rev., 1,3(1967)

และ $f^n s^2$ ออร์บิทัล ซึ่งส่งผลต่อการจัดเรียง อิเลคตรอนของธาตุกัมและธาตุในที่ และธาตุ ออกที่ในก้านคลื่น เป็น ถ้าห้องงาน $f^{n-1} ds^2$ ออร์บิทัล ทำก้าว
 $f^n s^2$ ออร์บิทัล การจัดเรียงอิเลคตรอนจะเป็นการจัดเรียงแบบ $f^{n-1} ds^2$ เป็นก้าว



บทที่ 4.1 พลังงานเปรียบเทียบระหว่าง การจัดเรียงอิเลคตรอน
 แบบ $f^{n-1} ds^2$ และแบบ $f^n s^2$ (จาก M.Fred, " Lanthanide/
 Actinide Chemistry," Advances in Chemistry Series, No. 71,
 American Chemical Society, Washington, D.C., 1967.)

ตารางที่ 4.1 พลังงานเบรี่ยน เทียบระหว่าง¹
 $4f^{n-1}5d6s^2$ ออร์บิทัล และ $4f^n6s^2$ ออร์บิทัล กัมการจัดเรียง
 อิเลคตรอนของธาตุและนาโน

จำนวน $4f$ อิเลคตรอน	ชื่อธาตุและนาโน	พลังงานเบรี่ยน เทียบ	การจัดเรียงอิเลคตรอน
1	La	$4f^{n-1}5d6s^2 < 4f^n6s^2$	$5d6s^2$
2	Ce	"	$4f5d6s^2$
3	Pr	$4f^{n-1}5d6s^2 = 4f^n6s^2$	$4f^25d6s^2$
4	Nd	$4f^{n-1}5d6s^2 > 4f^n6s^2$	$4f^46s^2$
5	Pm	"	$4f^56s^2$
6	Sm	"	$4f^66s^2$
7	Eu	"	$4f^76s^2$
8	Gd	$4f^{n-1}5d6s^2 < 4f^n6s^2$	$4f^75d6s^2$
9	Tb	$4f^{n-1}5d6s^2 > 4f^n6s^2$	$4f^96s^2$
10	Dy	"	$4f^{10}6s^2$
11	Ho	"	$4f^{11}6s^2$
12	Er	"	$4f^{12}6s^2$
13	Tm	"	$4f^{13}6s^2$
14	Yb	"	$4f^{14}6s^2$

ตารางที่ 4.2

พลังงานเบรีบม เทียบระหว่าง

$5f^{n-1}6d7s^2$ ออร์บิทัล และ
อิเลคตรอนของ ธาตุและที่ใน

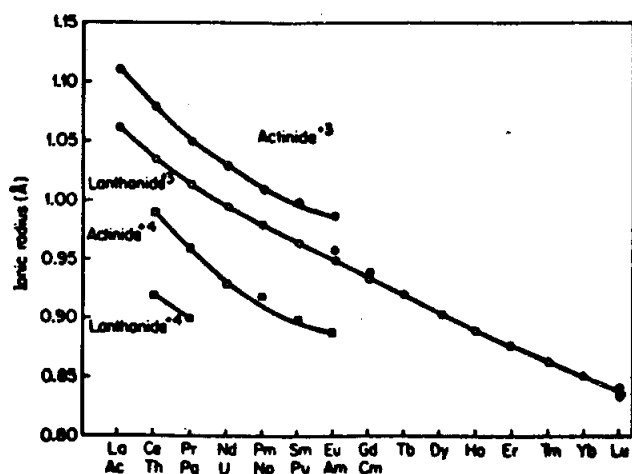
$5f^n7s^2$ ออร์บิทัล กับการจัดเรียง

จำนวน 5f อิเลคตรอน	ธาตุ และที่ใน	พลังงานเบรีบม เทียบ	การจัดเรียงอิเลคตรอน
1	Ac	$5f^{n-1}6d7s^2 < 5f^n7s^2$	$6d7s^2$
2	Th	"	$6d^27s^2$
3	Pa	"	$5f^26d7s^2$
4	U	"	$5f^36d7s^2$
5	Np	$5f^{n-1}6d7s^2 = 5f^n7s^2$	$5f^46d7s^2$
6	Pu	$5f^{n-1}6d7s^2 > 5f^n7s^2$	$5f^67s^2$
7	Am	"	$5f^77s^2$
8	Cm	$5f^{n-1}6d7s^2 < 5f^n7s^2$	$5f^76d7s^2$
9	Bk	"	$5f^86d7s^2$
10	Cf	$5f^{n-1}6d7s^2 > 5f^n7s^2$	$5f^{10}7s^2$
11	Es	"	$5f^{11}7s^2$
12	Fm	"	$5f^{12}7s^2$
13	Mv	"	$5f^{13}7s^2$
14	No	"	$5f^{14}7s^2$

4.3. รัศมีอะกอน, รัศมีอิโอน, และการหดขนาดแบบแผนท่านานา

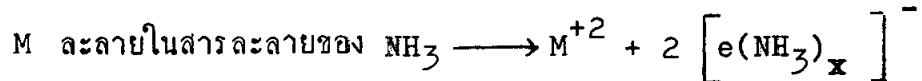
(Atomic, Ionic Radii and The Lanthanide Contraction)

มาตรฐานท่านานา มีการลดขนาดของอะกอนและอิโอน เมื่อ เลขอะตอมิกเพิ่มขึ้น สาเหตุของการลดขนาดของอะกอนและอิโอนของธาตุกลุ่มนี้ 'เนื่องมาจากการบังคับอิเลคตรอนเกิดขึ้นในส่วนบน' คือ ขณะที่ เลขอะตอมิกเพิ่มขึ้น พร้อมๆ กับการเพิ่มขึ้นของ 4f อิเลคตรอนนั้น เนื่องจาก 4f ออร์บิทัล มีป่าร่าง ซึ่งออกฤทธิ์庇ฤทธิ์ทาง การบัง 4f ออร์บิทัล ท่อญูงนอก โดยอิเลคตรอนท่อญูงในจึงไม่สมบูรณ์ ส่งผลให้ แรงกึ่ง弱ระหว่างนิวเคลียสและอิเลคตรอนมีมาก ขนาดจึงลดลง และลดลงตลอดทั้งกลุ่มของ ฐานะและท่านานา (ดูบที่ 4.2) เรียกว่า การหดขนาดแบบแผนท่านานา (Lanthanide contraction) ซึ่งฐานะและท่านานาที่มีลักษณะการหดขนาดแบบแผนท่านานา ก็ได้ แสดงเปรียบเทียบกับฐานะและท่านานาที่ไว้ในบที่ 4.2

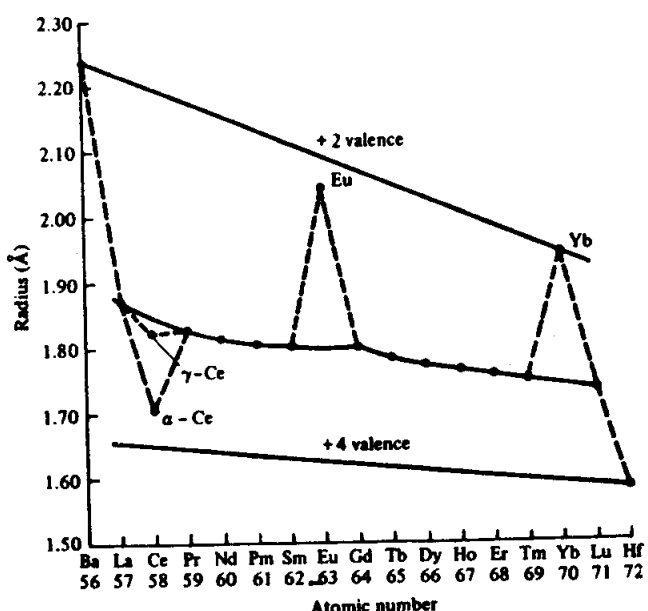


บที่ 4.2 รัศมีของอิโอนและท่านานา และรัศมีของ อิโอนและท่านานา (จาก D. Brown, Halides of the Lanthanides and Actinides, Interscience-Wiley, 1968.)

ธาตุ Eu (Europium) และ ธาตุ Yb (Ytterbium) (กรุ๊ปที่ 4.3) พนิชมีรัศมีอะตอมใหญ่กว่าธาตุอื่นๆ ในกลุ่มนี้ เนื่องจาก Eu มีอิเลคตรอนอยู่เต็มถึงหนึ่ง และ Yb มีอิเลคตรอนอยู่เต็มในออร์บิทัล ยี่สี่ก้อนนี้ ธาตุทั้งสองยังมีคุณสมบัติคล้ายกับธาตุแบรีียม (Barium) มากกว่าที่จะคล้ายกับธาตุในกลุ่มแลนทานที่ต่อไปนี้ เนื่องจากธาตุทั้งสองนี้ให้อิเลคตรอนเพียงสองตัวในการเกิดพันธะ และมีออกซิเกชันส์เทกที่คงตัว คือ +2 ซึ่งนักเคมีจากการที่มีออกซิเกชันส์เทก +3 อยู่แล้ว กัณฑ์ธาตุทั้งสองนี้ จึงมีคุณสมบัติคล้ายกับธาตุอัลคาไลน์ เอวิท (Alkaline earth) เช่นในกรณีของธาตุ Eu และ Yb จะถูกไฟไก้ในแอมโมนีนเนีย แล้วให้สารละลายสีฟ้า ได้เช่นเดียวกับธาตุอัลคาไลน์ เอวิท กันนี้



M แสดงถึงโลหะ และ e^- ถูกกลืนรวมกับในເຊັດຂອງ แອມນີ້ເນື້ຍ
ເກີດເປັນ solvated electron ໃຫ້ສາງສະຄາຍສິ້ນ



รูปที่ 4.3 รัศมีอะตอมของ แบรีียม (Ba) แลนಥานัม (La) ธาตุแลนثانที่ต่อไปนี้,
และธาตุເນື້ຍ (Hf) (ຈາກ F.H.Spedding and A.H.Daane, "The Rare Earths,"
Wiley, New York, 1963.)

ผลของการ เอิกหกของนาคแบบแอนทานาไนด์

(Consequences of Lanthanide Contraction)

(1) ผ้าในราคุที่ติดจารากษาคุณภาพในก' (Post-lanthanide elements) ซึ่งก็คือราคุทุกรายที่ซึ่งอนุกรรมที่ร้านนี้มีพิเศษต้องการคล้ายกับราคุณภาพในก' นั้น

(ก) รัศมีอะตอมและรัศมีอิเล็กตรอนของราคุทุก ชนิดในอนุกรรมที่ร้านนี้ รัศมีโภคสารที่เพิ่มขึ้น เมื่อ เดชะกอนมิกเพิ่มขึ้น เนื่องจาก การรัศมีโภคสารที่เพิ่มขึ้น เมื่อ เดชะกอนมิกเพิ่มขึ้น อนุกรรมที่สองในตารางที่ 1.2

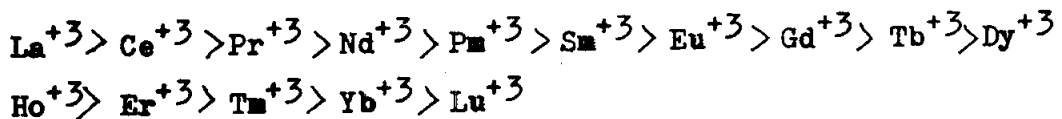
แท้จริง เปรียบเทียบ รัศมีโภคสารที่เพิ่มขึ้นของราคุทุก ชนิดในอนุกรรมที่ร้านนี้ จะพบว่า รัศมีโภคสารที่เพิ่มขึ้น เมื่อ ส่องอนุกรรม ใกล้เคียงกันมาก หรืออาจไม่ถูกกันเดียวกันในคู่ของ Nb-Ta (1.34\AA) และ Ag-Au (1.34 \AA) เป็นพน ดังนี้เนื่องมาจากการของอนุกรรมที่ร้านนี้เอง ซึ่งบดของกรณีรัศมีเท่ากันนี้เอง ทำให้มีคุณสมบัติคล้ายกัน เช่น มีคุณสมบัติในการ ละลายของ เกลือของราคุทุก เนื่องจากคล้ายกันมากเป็นพน

(จ) ความหนาแน่นสูงของราคุทุก ชนิดในอนุกรรมที่ร้านนี้

เนื่องมาจากการของอนุกรรมที่ร้านนี้เอง ซึ่งมีความหนาแน่นสูงกว่าราคุทุก ชนิดในอนุกรรมที่ร้านนี้เอง และอนุกรรมที่สอง เช่น ความหนาแน่นของ Ir มีค่าเท่ากับ 22.4 g/cm^3 เป็นพน

(2) สักษณะความเป็นเบสของออกไซด์ Ln_2O_3 และไฮดรอกไซด์ $\text{Ln}(\text{OH})_3$

คุณสมบัติทางเคมีของธาตุเรืออิโอนขึ้นกับขนาดของอะตอมหรืออิโอน ด้านี้หากในดูที่จะสูญเสียอิเดกกรอนไปไกง่าย ซึ่งความบางๆ ของสารสูญเสีย อิเดกกรอนก็เป็นการรักษาความเป็นเบสของอะตอมหรืออิโอนนั้น นั่นคือความเป็นเบส จะลดลงเมื่อขนาดลดลง คุณสมบัติความเป็นเบสที่ลดลงตามลำดับซึ่งเป็นดังนี้



ความเป็นเบสที่แตกต่างกันนี้จะส่งผลสะท้อนถึงคุณสมบัตินี้ ๆ ลึกกันนี้

(ก) การสลายตัวโดยความร้อนของสารประกาย oxy salts เช่น oxy salts ที่มีคุณสมบัติเป็นเบสมากจะสลายตัวໄภากด

(ก) การใช้ไกรไชซ์ของอิโอน เช่น อิโอนที่เป็นเบสมากกว่า ชาไกรไชซ์มากกว่า

(ก) การออกซิเกรนของธาตุ เช่น การออกซิเกรนของธาตุจะลดลง เมื่อเรื่องอะตอมมิกเพิ่มขึ้น ซึ่งก็ได้จากค่า Oxidation Potential สำหรับคุณสมบัติของ $\text{Ln} \longrightarrow \text{Ln}^{+3} + 3e^-$ ซึ่งลดลงตามลำดับเมื่อเรื่องอะตอมมิกเพิ่มขึ้น

เนื่องจากกระบวนการแยกแบบแอนโฟร์ในกรณี La^{+3} ไปถึง Ln^{+3} ซึ่งมีสัดส่วนความเป็นอิโอนนิกลดลงตาม (เพิ่มสัดส่วนไกรไชซ์) ระหว่าง Ln^{+3} และ OH^- ใน $\text{Ln}(\text{III})\text{hydroxides}$ (กฎของ Fajan) กรณี $\text{La}(\text{OH})_3$ ซึ่งมีความเป็นเบสมากที่สุด ในหานองเกี่ยวกับสารประกายของออกไซด์ Ln_2O_3 ที่สักจะความเป็นเบสลดลงเมื่อเรื่องอะตอมมิกเพิ่มขึ้น เช่น เกี่ยวกับ

ความแยกต่างในคุณสมบัติของการหดขนาดแบบแอนโฟร์ในสามารถแยกธาตุแต่ละในกรณีของรากกันไกคายวิธีการที่เรียกว่า Fractional crystallization และหาบความแยกต่างกันในความเป็นเบสที่ก่อตัวมาทางคน

จากการที่ราดูออกหินในค์มีลักษณะของการหกน้ำคายนและทนทานค์ได้
 (ดูบที่ 4.2) จึง ส่งผลให้พุกกรรมทางเคมีของหั้น ราดูออกหินในค์จะเป็นราดูออกหิน
 ในค์ มีความกลึงกันในด้านของกุณสมบัติเช่นรั้นกันขนาดของ อิเล็กตรอน เช่น กำหาง เทอร์โน
 ไกนา มิกส์สำหรับปฏิกิริยาไอไกร์ ไอซิเดรอะ สารประกอบพากಡไก (Halides) และ
 สารประกอบของราดูหั้นสองกลุ่มนี้มีการออกซิเกร็บส์เทก เช่น เคียวกัน จะมีลักษณะบล็อกไกรง
 สร้าง เช่น เคียวกัน ทั่งกันเพียงระยะทางระหว่าง ตะกอนภายในไกรงสร้าง เท่านั้น

4.4. พลังงานของการเกิดอิออน (Ionization Energy)

ค่าพลังงานของการเกิดอิออนของราดูออกหินในค์ได้แสดง ไว้ในตาราง
 ที่ 4.3 ส่วนค่าพลังงานของการเกิดอิออนของราดูออกหินในค์นั้น ยังไม่มีข้อมูลที่เชื่อถือได้
 กรณุกราดู ในหัวข้อนี้ จึงไม่กล่าวถึง

ตารางที่ 4.3 พลังงานของการเกิดอิออน (M^{+3}) ของราดูออกหินในค์

Lanthanides	First three ionization energies(eV)
La	36.2
Ce	36.4
Pr	37.5
Nd	38.4
Pm	-
Sm	40.4
Eu	41.8
Gd	38.8
Tb	39.3
Dy	40.4
Ho	40.8
Er	40.5
Tm	41.9
Yb	43.5
Lu	40.4

ผลังงานของการเกิดออกอนแบบ M^{+3} ของธาตุแอนทานิกังที่แสดงไว้ในตารางที่ 4.3 นัน นับว่าเป็นค่าที่ดีชนชั้ง กว่า กังนั้นธาตุแอนทานิก จึงเป็นธาตุอิเล็ก tro-positive (Electropositive) และมีความไวในปฏิกิริยาคล้ายกับธาตุอัลคาไลน์ (Alkaline) และธาตุอัลคาไลน์เออร์ท (Alkali earth) มากกว่าที่จะคล้ายกับธาตุทรายชั้นหลัก (d-block elements) นั่นคือ ธาตุแอนทานิกที่มีปฏิกิริยาต่อกันน้ำได้มากไปกว่าเจน ซึ่งนอกจากธาตุแอนทานิก มีค่าผลังงานการเกิดออกอนแบบ M^{+3} โดยเฉลี่ยกว่า เมื่อเทียบกับธาตุ Cr^{+3} และ Co^{+3} แล้ว ยังพบว่า ผลังงานความร้อนที่ใช้ในการห้าลายไครองสร้างของโภะ (Heat of Atomization) ของธาตุแอนทานิก, ธาตุอัลคาไลน์ และธาตุอัลคาไลน์เออร์ท นันมีค่าน้อยกว่าของธาตุทรายชั้นหลักอีกด้วย

4.5 ออกรูปเงินสเก็ต (Oxidation States)

จากข้อที่ 4.1 ซึ่งแสดงการเปรียบเทียบผลังงานระหว่าง $f^{n-1}ds^2$ ออร์บิทัล และ $f^n s^2$ ออร์บิทัล นัน จะเห็นได้ว่า $4f$ ออร์บิทัล มีความต่ำกว่า $f^{n-1}ds^2$ ออร์บิทัล และ $f^n s^2$ ออร์บิทัล มีมาก $4f$ อิเลคตรอน จึงไม่ถูกนำมาราย แนวโน้มซึ่งธาตุแอนทานิกที่จะเกิดออกซิเกชันสเก็ตค่าที่คงที่อยู่มาก ไม่ถูกนำมาราย ค่านั้น ค่าออกซิเกชันสเก็ต $+3$ ซึ่งเกิดมาจากการจัดเรียงอิเลคตรอน เป็น $4f^{n-1}5d^06s^0$ นี้เป็นลักษณะประจำธาตุกลุ่มนี้ จากตารางที่ 4.4 ซึ่งแสดงค่าออกซิเกชันสเก็ตสำหรับธาตุแอนทานิกนั้นพบว่า นอกเหนือจากค่าออกซิเกชันสเก็ต $+3$ แล้ว ธาตุ Eu และ Yb มีออกซิเกชันสเก็ต $+2$ เกิดขึ้นได้ ทั้งนี้ เพราะ Eu^{+2} มีการจัดเรียงอิเลคตรอนเป็น $4f^7$ และ Yb^{+2} มีการจัดเรียงอิเลคตรอนเป็น $4f^{14}$ จึงให้ผลังงานแตกเปลี่ยน (exchange energy)

มหาทำให้กงตัวนั้นเอง ส่วนชาตุอื่นๆ ในกลุ่มแคนทาน์นี้พบว่ามีโอกาสเป็นไปได้ที่จะเกิดเป็นช่องเริ่งที่กงตัวใหญ่มี M^{+2} อยู่ในโครงสร้างได้ ส่วนค่าออกซิเกรเซนสเทกที่มีค่าสูงกว่านี้ไม่เคยพบ เพราะไม่มีความคงตัว เท่านี้จาก การที่ชาตุซีเรียม (Cerium; Ce) มีออกซิเกรเซนสเทก +4 ให้ในสารละลายน้ำ และประพฤติคัว เป็นคัวออกซิไกซ์ที่แรงมาก ($E_{red}^{\circ} = +1.74V$)

ตารางที่ 4.4 ออกซิเกรเซนสเทกของชาตุแคนทาน์

Symbol	+2	+3	+4
La		+	
Ce	(+)	+	+
Pr		+	(+)
Nd	(+)	+	(+)
Pm		+	
Sm	(+)	+	
Eu	+	+	
Gd		+	
Tb		+	(+)
Dy		+	(+)
Ho		+	
Er		+	
Tm	(+)	+	
Yb	+	+	
Lu		+	

สำหรับธาตุและอิเล็กตรอนที่ในก้นน้ำ เมื่อเปรียบเทียบพลังงานระหว่าง $f^{n-1}6d7s^2$ ออร์บิทัล และ f^n7s^2 ออร์บิทัลนั้น (ญี่ปุ่นที่ 4.1) เนื่องจากเมื่อเปรียบเทียบกับ $4f$ ออร์บิทัล ของธาตุและอิเล็กตรอนที่ในก้นน้ำ $5f$ ออร์บิทัล ไม่ได้ปัจจัยถูกต้องเท่า $4f$ ออร์บิทัล ความแตกต่างของพลังงานระหว่าง $f^{n-1}6d7s^2$ ออร์บิทัล และ f^n7s^2 ออร์บิทัล จึงมีน้อยกว่า ธาตุและอิเล็กตรอนที่ในก้นน้ำในที่จะเกิดออกซิเกชันส์เทก ไก้หลายค่าและสูงค่ากว่าธาตุและอิเล็กตรอนที่ในก้นน้ำในตารางที่ 4.5

ตารางที่ 4.5 ออกซิเกชันส์เทกของธาตุและอิเล็กตรอนที่ในก้นน้ำ

Symbol	+2	+3	+4	+5	+6	+7
Ac		+				
Th	(?)	(?)	+			
Pa			+	+		
U		+	+	+	+	
Np		+	+	+	+	(+)
Pu		+	+	+	+	(+)
Am	(+)	+	+	+	+	
Cm		+	+			
Bk		+	+			
Cf	(?)	+				
Es	(?)	+				
Fm	(?)	+				
Md	+	+				
No	+	+				
Lr		+				

ผู้นี้เมื่อเปรียบเทียบกับชาตุแสวงหาในคําแล้ว ชาตุแยกหินก็ใช้อิเลคตรอนจาก $5f$ ออร์บิทัลไก้ยากกว่า จึงไก้แสดงค่าออกซิเกชันสเก็ตไก้มีน พลรูปของอิเลคตรอนใน $7s$, $6d$, และ $5f$ ออร์บิทัลหัมมก เช่น $Ac(III)$, $Pa(IV)$, $U(VI)$, และ $Np(VII)$ เป็นตน อย่างไรก็ตามในชาตุช่วงหลัง ๆ ของกลุ่มนี้ เมื่อเลขอะตอมมิกเพิ่มขึ้น แท่นากของชาตุแยกหินก็ลดลง นั่นคือ $5f$ ออร์บิทัลถูกยังคัวลิกกว่าเมื่อเปรียบเทียบกับชาตุก่อน ๆ ของกลุ่ม จากความแตกต่างของพลังงานระหว่าง $f^{n-1}6d7s^2$ ออร์บิทัล และ f^n7s^2 ออร์บิทัลมากขึ้น ส่งผลให้ชาตุในช่วงหลัง ๆ ของกลุ่มแยกหินก็ไม้ออกซิเกชันสเก็ตชาตุยากกว่า คือมีค่า $+3$ (มีค่า $+2$ ไกบ้างเป็นบางชาตุ) ซึ่งค่า $+3$ นี้เกิดมาจากการจัดเรียงอิเลคตรอนเป็น $5f^06d^07s^0$ กล้ายกันถักมันจะของชาตุ แสวงหาในคันนี้เอง แนวโน้มของการใช้ $5f$ อิเลคตรอนลดลงเรื่อย ๆ เมื่อเลขอะตอมมิกเพิ่มขึ้น เห็นไก้จากการที่ $P(III)$ อาจถูกออกซิไก้ไกบ้าง $Np(III)$ ทองนีโอกาฟเข้าช่วง ส่วน $Pu(III)$ ทองใช้คัวออกซิไกที่แรง เช่นกาซคลอรินเป็นตน สารบัณฑุรูปเรียม (Cm) และชาตุเบอร์คิเลียม (Bk) นั้นมีออกซิเกชันสเก็ตไก้สูงสุดคือ $+4$ และชาตุทุกจากนี้เมื่อเทียบออกซิเกชันสเก็ตคือ $+3$ และ $+2$ ที่คงคัวไกอยเฉพาะชาตุในเบลเยียม (No) มีค่าออกซิเกชันสเก็ตคือ $+2$ ซึ่งคงคัวกว่า $+3$ เห็นไก้จากการที่ No^{+2} ในสารละลายมีความคงคัวมากกว่า No^{+3} เป็นตน

อย่างไรก็ตาม ชาตุแสวงหาในคันและชาตุแยกหินก็ในคันทั้งสองนี้ ออกซิเกชันสเก็ต $+3$ เป็นค่าออกซิเกชันสามัญนั้น เมื่อเปรียบเทียบกันในคัน เคยแล้ว พนวย แสวงหาในคันออกอนทุกคัวที่มีออกซิเกชันสเก็ต $+3$ นั่นไน่คงคัวในสารละลายที่มีน้ำ อะไบที่แยกหินในคันออกอนเช่น Th^{+3} และ Pa^{+3} นิ่งคัวอยู่ไก แต่พนวยหันจาก Am^{+3} แล้ว แยกหินในคันออกอน $+3$ จะไน่คงคัวในสารละลายที่มีน้ำเหมือนแสวงหาในคันออกอน $+3$

ความบากง่ายของการมีออกซิเกนส์เตกหมายความว่าในสารละลายของชาตุและนาโนที่ต่างจากค่า Standard electrode potential (E°) ซึ่งได้แสดงไว้ในตารางที่ 4.6 ซึ่งข้อมูลดังต่อไปนี้จะแสดงให้ทราบว่าต้องใช้พลังงานเท่าไรในการทำให้เกิดการเปลี่ยนแปลงของชาตุและนาโนที่ต่างจากค่า E°

(1) ถ้าของ E° ที่มีค่าสูงและเป็นพากษานั่นคือปฏิกิริยา

$\text{Ln}^0(s) \rightarrow \text{Ln}^{+3}(aq) + 3e^-$ นั้นชี้ให้เห็นว่า ชาตุและนาโนที่เป็นตัวเริ่มต้นที่ต้องการเดินทางไปเป็นออกซิเกนส์เตก +3 นั้นเกิดได้ยากเร็วและรุนแรง ค่า E° ที่มากนี้ยังชี้ให้เห็นว่าตัวเริ่มต้นที่เป็นตัวเริ่มต้นที่ต้องการเดินทางไปสิ่งที่ต้องการจะต้องเสียพลังงานสูง

อีกด้วย

(2) ถ้า E° สำหรับปฏิกิริยา $\text{Ln}^0(s) \rightarrow \text{Ln}^{+3}(aq) + 3e^-$ เป็นผลเนื่องมาจากการดักนากอ่อน (Lanthanide contraction)

(3) สำหรับชาตุ $\text{Ce}^{+4}(4f^0)$ ถูกปรับเปลี่ยนเป็น $\text{Ce}^{+3}(4f^1)$ ให้มากกว่า $\text{Pr}^{+4}(4f^1)$ ซึ่ง $\text{Eu}^{+2}(4f^7)$ และ $\text{Yb}^{+2}(4f^{14})$ ที่พบว่าเป็นตัวเริ่มต้นที่สูงในชาตุที่มีออกซิเกนส์เตก +2 นี้ ซึ่งปรากฏการณ์เหล่านี้เนื่องมาจากการจัดเรียงอิเล็กตรอนที่มีความเสถียรสูง เช่น f^0 , f^7 และ f^{14} นั้นเอง

เคมีของแพนทานาโนที่มีออกซิเกนส์เตก +3

โดยทั่วไปแล้วชาตุและนาโนที่มีพฤติกรรมเป็นไอออนที่ต้องไว้มีค่า

Electrode potential เท่า ๆ กับชาตุอัลคาไลอเมทิก ไอออนทุกตัวที่หน้าที่เป็นตัวเริ่มต้นที่แรง ห้ามปฏิกิริยากับกรดได้ดี ไม่ติดตัวอยู่ในสารละลายได้ดี แต่จะละลายได้ดีในน้ำและในไนโตรเจนออกไซด์ ชาตุก้อนนี้จะถูกดูดซึ�บ (adsorb) โดยไนโตรเจนและเกิดเป็นไฮดรายด์ที่เรียกว่า Interstitial hydrides

ตารางที่ 4.6 ค่าอออกซิเดชันไดค์กาน ฯ ของธาตุและน้ำในก' และค่า standard electrode potentials (E°) (Volts) สำหรับกาน ฯ ของ ธาตุและน้ำในก' ใน 1 M perchloric acid ที่ 25°C

Lanthanide elements	Oxidation states ^a	E° values (in volts) for various couples ^b
La	+3	$\text{La}^0/\text{La}^{+3} = 2.52$
Ce	+3 (+4)	$\text{Ce}^0/\text{Ce}^{+3} = 2.48$
Pr	+3 +4	$\text{Pr}^0/\text{Pr}^{+3} = 2.46$, $\text{Pr}^{+3}/\text{Pr}^{+4} = -1.74$
Nd	+2 +3	$\text{Nd}^0/\text{Nd}^{+3} = 2.43$ $\text{Nd}^{+3}/\text{Nd}^{+4} = (-2.86)$
Pm	+3	$\text{Pm}^0/\text{Pm}^{+3} = (2.42)$
Sm	(+2) +4	$\text{Sm}^0/\text{Sm}^{+3} = 2.41$, $\text{Sm}^{+2}/\text{Sm}^{+3} = 1.55$
Eu	(+2) +3	$\text{Eu}^0/\text{Eu}^{+3} = 2.40$, $\text{Eu}^{+2}/\text{Eu}^{+3} = 0.43$
Gd	+3	$\text{Gd}^0/\text{Gd}^{+3} = 2.39$
Tb	+3 (+4)	$\text{Tb}^0/\text{Tb}^{+3} = 2.39$
Dy	+3 +4	$\text{Dy}^0/\text{Dy}^{+3} = 2.35$
Ho	+3	$\text{Ho}^0/\text{Ho}^{+3} = 2.32$, $\text{Ho}^{+2}/\text{Ho}^{+3} = 0.57$
Er	+3	$\text{Er}^0/\text{Er}^{+3} = 2.30$
Tm	(+2) +3	$\text{Tm}^0/\text{Tm}^{+3} = 2.38$
Yb	(+2) +3	$\text{Yb}^0/\text{Yb}^{+3} = 2.27$, $\text{Yb}^{+2}/\text{Yb}^{+3} = 1.15$
Lu	+3	$\text{Lu}^0/\text{Lu}^{+3} = 2.25$

^aLess stable states are shown in brackets.

^bEstimated values are given in brackets

Ln^{+3} รวมตัวกับอิオンประจุลบ เช่น OH^- , CO_3^{2-} , SO_4^{2-} , $\text{C}_2\text{O}_4^{2-}$, NO_3^- และอื่น ๆ ให้เป็นสารประกอบที่เฉลียร ในว่าจะอยู่ในรูปของแม่เหล็ก หรือ ในสารละลาย อย่างไรก็ตามสารประกอบเหล่านี้จะถูกดึง เมื่อไกกระบวนการร้อนให้เกิดขึ้น ที่เป็นเบสก่อนและในที่สุดก็ถูกเปลี่ยนเป็นออกไซด์ ส่วนเกตเวย์ที่มีน้ำบด (hydrated salt) ที่มี F^- , Cl^- , Br^- , PO_4^{3-} และอื่น ๆ นั้น ให้ผลิตภัณฑ์ที่เกี่ยวข้องเมื่อไกกระบวนการร้อนเนื่องจากเกิดปฏิกิริยาโดยการไถชีด ไกหัวไปสารประกอบของ Ln^{+3} กับ Cl^- , Br^- , I^- , NO_3^- , CH_3COO^- , BO_3^{3-} อะลามไก้ในน้ำ ส่วนสารประกอบ Ln^{+3} กับ F^- , OH^- , O^{2-} , $\text{C}_2\text{O}_4^{2-}$, CO_3^{2-} , CrO_4^{2-} , PO_4^{3-} ไกหัวไปผลิตภัณฑ์ในระดับน้ำ

สารประกอบออกไซด์ (Ln_2O_3)

ออกไซด์ Ln_2O_3 เกิดขึ้นโดยการเผาในอุณหภูมิสูงหรือโดยการสลายตัวความร้อนของ $\text{Ln}(\text{OH})_3$ หรือ oxo salts เช่น $\text{Ln}_2(\text{CO})_3$ และ $\text{Ln}(\text{NO})_3$ สารประกอบออกไซด์ของธาตุแคนนาโน่ก็ถูกดึงกับออกไซด์ของพวกขั้นตอนเดียว ออกไซด์ทุกตัวเกือบไม่ละลายในน้ำ มีความสามารถดักจับ CO_2 และ H_2O จากอาการหลอกด้วยเป็นสารประกอบคาร์บอนเนตและไอกออกไซด์ที่สามารถสลายได้ ออกไซด์เหล่านี้เป็นเบส ซึ่งความเป็นเบสสอดคล้องเมื่อตรวจสอบมิกเพิ่มขึ้น ตั้งแต่ La_2O_3 เป็นเบสอ่อน

สารประกอบไอกออกไซด์ ($\text{Ln}(\text{OH})_3$)

สารประกอบไอกออกไซด์ทุกตัวเป็นวุนจากสารละลายพื้นที่มีไกกระบวนการเดินทางไม่เนื้บ หรือกำลังออกด้วยในสารละลายเคลื่อนของ Ln^{+3} ไอกออกไซด์เหล่านี้เป็นเบส ซึ่งความเป็นเบสสอดคล้องเมื่อตรวจสอบมิกเพิ่มขึ้น ตั้งแต่ $\text{La}(\text{OH})_3$ เป็น

เบสแก๊ส่วน Lu(OH)₃ เป็นเบสอ่อน และไอกรอกไฮด์เรตานิ่งลายตัว เมื่อโภนเขากลายเป็นออกไซด์

สารประกอบ oxy salts

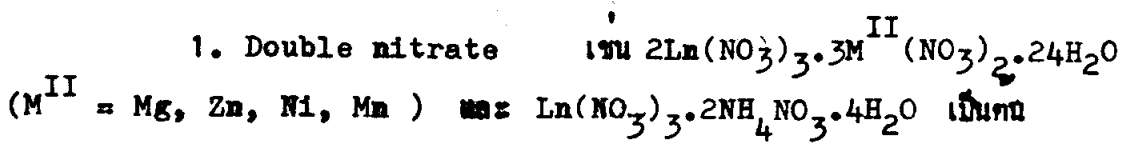
oxy salts เป็นเกลือของแคนทานิ่งกรุก oxy acids เช่น พวกซัลเฟต ในเกรต เปอร์คลอเรต บอร์เนต และอื่น ๆ โดยทั่วไปเกลือพวกนี้จะถูกไถในน้ำและถูกถักเป็นไฮเดรต (hydrated salts) เกลือ oxy salts ที่ถูกถากไถ เช่น ชัลเฟต ในเกรต และเปอร์คลอเรต สามารถเตรียมไถโดยถลายออกไซด์ หรือไอกรอกไฮด์ หรือการบูรณ์เคนใน oxy acids จากสารละลายนี้ เกลือจะถูกถักลงมาไถ สารละลายของ oxy salts จะมีน้ำหนักเพิ่มขึ้น คือ $[Lu(H_2O)_x]^{+3}$ ซึ่งเกิดจากปฏิกิริยาไอกรอกซิสกันนี้

$$[Lu(H_2O)_x]^{+3} + H_2O \longrightarrow [Lu(H_2O)_{x-1}(OH)]^{+2} + H_3O^+$$

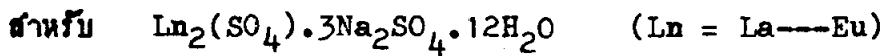
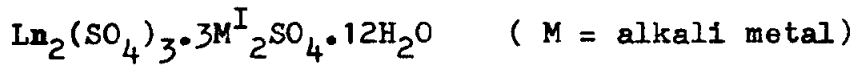
Lu^{+3} ที่มีรูปมีอ่อนเล็กกว่า จะมีแนวโน้มที่จะเกิดปฏิกิริยาไอกรอกซิส ของ $[Lu(H_2O)_x]^{+3}$ มาก ดังนั้นแนวโน้มนี้จะเพิ่มขึ้นเมื่อมีเหล็กอนมิกเพิ่มขึ้น เนื่องจากตั้งแต่ La^{+3} ไปจนถึง Lu^{+3} มีการลดขนาดของรูปมีอ่อนลงนั้นเอง

Double Salts

เกลือของแคนทานิ่งจะเกิดเป็นสารประกอบที่เรียกว่า double salts ให้มาก ดังนี้



2. Double sulphates ไนโตร

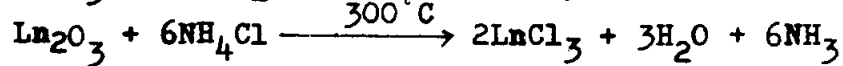
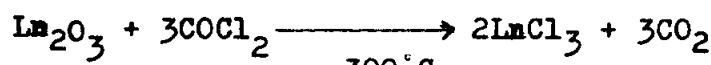


จะละลายในน้ำได้ด้วย Na_2SO_4 ส่วนสารประกอนที่ $\text{Ln} = \text{Gd} \text{---} \text{Lu}$ จะละลายได้ยาก ต้องใช้กรดข้ามและทำให้ละลายได้ 2 กลุ่มคือกล่าวออกจากกันได้

ไฮดรอกซิ (LnX₃)

สารประกอนพากเพียรได้รับการหักห้ามไม่ให้ละลายใน HF ลงในสารละลายเกลือของ Ln^{III} ดำเนินการด้วยความร้อนของชาตุเหล่านี้โดยรวมถึงสารละลายไฮดรอกซิใน HF เนื่องจากกระบวนการเกิดเป็น fluoro complexes

ส่วนสารประกอนพากเพียรที่ปราศจากน้ำ (anhydrous chlorides) เก็บยังไงจากการรวมควบคุมความร้อนของชาตุเหล่านี้โดยกรงอบ่างไรก็ตามจึงใช้การเผาออกให้กับการบูรนิสก์คลอไรด์ (COCl_2) หรือ NH_4Cl จะเก็บดีกว่า



สารประกอนพากเพียรที่มีน้ำในระดับง่าย จะหายใจในน้ำและออกเดินทาง สารรับสารประกอนพากเพียรที่มีน้ำ (hydrated chloride) เก็บเมื่อไห้ในน้ำจะออกให้กับการบูรนิสก์ในสารละลายกรดเกลือ และทำให้สารละลายของน้ำที่เป็นผลิตภัณฑ์เป็นไปได้ในรูปของ hexahydrates คือ $\text{LnCl}_3 \cdot 6\text{H}_2\text{O}$

ส่วนสารประกอนพากเพียรที่มีน้ำ เมื่อย่างไว้ในสารประกอน

พวากคลอไรท์ปราศจากน้ำ แต่จะสูญเสีย HCl ไปแล้วกลایเป็น oxy chloride ($LnOCl$) ซึ่งการสูญเสีย HCl จะง่ายกว่าการสูญเสียน้ำไปบ้าง เนื่องจากตัวมันเป็นรูปแบบ $ScCl_3 \cdot 3H_2O$ และ $CeCl_4 \cdot 2H_2O$ เมื่อเผาจะได้ Sc_2O_3 และ CeO_2 ไว้

ส่วนสารประกอบพวากโนร์ไนท์และไอโอดิอกท์ คล้ายกับพวากคลอไรท์ ไอโอดิอกท์ ที่เกิดกับชาตุและเหล็กในกัมเมลเชื้ออะคอมิกทัน ๆ จะมีโครงสร้างเป็น orthorhombic ส่วนที่เกิดกับชาตุและเหล็กในกัมเมลเชื้ออะคอมิกมากขึ้นจะมีโครงสร้างเป็น hexagonal

การบูนเขต $Ln_2(CO_3)_3$

สารประกอบพวากการบูนเขตเทอร์บิมไก้โดยผ่าน CO_2 ลงในสารละลายที่มีน้ำของ $Ln(OH)_3$ หรืออาจเทอร์บิมไก้โดยเพิ่ม Na_2CO_3 ลงในสารละลายเกลือของ Ln^{III} สารประกอบพวากนี้ในละลายในน้ำ แผลด้วยไก้ในกรอบร่มกับใน CO_2 ออกมาน้ำพร้อมกับเกลือของ Ln^{III} คือ

ฟอสเฟตและออกไซเดตก $Ln_2(PO_4)_3$ and $Ln_2(C_2O_4)_3$

สารประกอบพวากนี้ในละลายในน้ำ และเหล็กในกัมมาร์ติกก์กับกันเป็นออกไซเดตจากสารละลายของ Ln^{+3} และ $C_2O_4^{2-}$ ซึ่งจะก่อตัวขึ้นเมื่อถูกเผาจะกลایเป็น Ln_2O_3

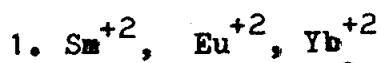
สารประกอบกับพวากไโอนะและพวากกิงอไโอนะ

นอกเหนือจากการพวากออกซิเจนและออกไซด์เจนแล้ว และเหล็กในกัมมาร์ติกก์กับไโอนะและพวากกิงอไโอนะไก้เป็นสารประกอบ ซึ่งปกติจะเทอร์บิมไก้โดยรวมกับไบท์อุณหภูมิสูง เช่นรวมกับชัตไฟก์ไก้เป็น Ln_2S_3 (บกเวนด์) กับชีส์ในค

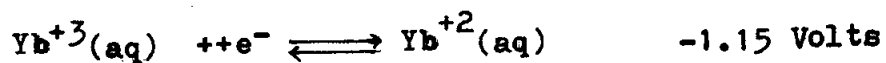
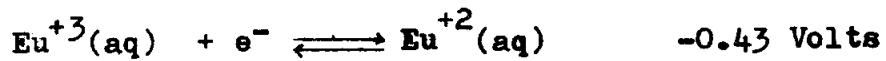
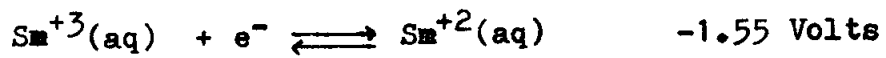
เช่น Ln_2Se_3 กับออกซิเดชันไฟฟ์ เช่น $\text{Ln}_2\text{O}_2\text{S}$ นอกจากนี้มีพวงในไทร์ท (LnN) พลัสไฟฟ์ (LnP) อาร์ซีไนท์ (LnAs) แอนดิโนไนท์ (LnSb) และ บิสมัทไทร์ท (LnBi) ซึ่งสารประกอบเหล่านี้มีโครงสร้างแบบเกี่ยวกัน NaCl ส่วนพวงการไนท์ Ln_3C ก็พบบ้างในพวง Sm-Lu (ยกเว้น La, Ce, Pr, และ Nd)

เคมีของแอลเทนท่าในคืออ่อนห้ามออกซิเกรชันสเกต +2

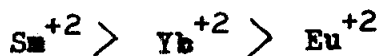
ออกซิเกรชันสเกต +2 นี้เป็นสักขยะพิเศษของชาตุแอลเทนท่าในที่ซึ่งแม้่ໄດ້ เป็น 2 กลุ่มดังนี้



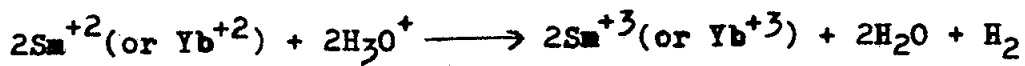
สำหรับคืออ่อนห้ามนี้ถูกต้องอยู่ในสารละลาย ส่วนๆ Standard oxidation potential ที่ 25°C ในสารละลายกรดของคืออ่อนประจุบวกเหล่านี้ เป็นดังนี้



ถ้าทางๆ เหล่านี้แสดงว่า Sm^{+2} , Eu^{+2} และ Yb^{+2} เป็นตัวเริ่มต้นที่แรงและเป็นไปตามลำดับดังนี้



ตัวจะเห็นได้ว่า Sm^{+2} และ Yb^{+2} ถูกออกซิไทร์ทกว่ากราฟิโน่โดย H_3O^+ (สารละลายกรด) ส่วน Eu^{+2} ต่อน้ำแข็งแล้วถูกออกซิไทร์ทโดย H_3O^+ ให้บ้าง些ๆ



แก๊ส Sm^{+2} , Eu^{+2} และ Yb^{+2} ถูกออกซิไกอาบงรากเร็ว
เมื่อมีออกซิเจนอยู่ควบคู่กันนี้

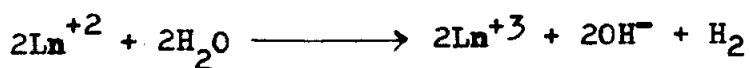


สารปรับปรุงประดิษฐ์ของ Sm^{+2} , Eu^{+2} และ Yb^{+2} ที่ในระดับ
ในน้ำ จะไม่ถูกออกซิไกอาบงรากเร็ว ส่วนพารามิเตอร์ที่มีผลต่อการออกซิไกอาบง
 Sm^{+2} และ Yb^{+2} ที่จะถูกออกซิไกอาบงรากเร็วของมัน แก้สารปรับปรุง Eu^{+2} จะ
เสียหายกว่า

2. Ce^{+2} , Nd^{+2} , Tm^{+2}

สารปรับปรุงที่มีออกซิเกน $+2$ ของพารามิเตอร์นี้จะเป็นเดือดที่เป็นของ
แข็ง และถูกออกซิไกอาบงรากเร็ว

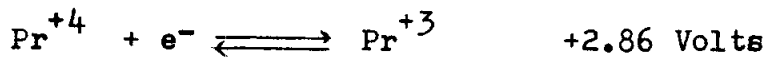
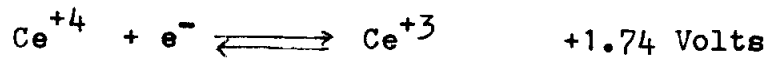
อย่างไรก็ตามในจำนวนสารปรับปรุงธาตุและในกรณีของออกซิเกนสเก็ต
 $+2$ ผู้คนก็จะพบว่าสารปรับปรุงของ Eu^{+2} ที่มีความเสียหายที่สูง ส่วนสารปรับปรุง
ของ Ln^{+2} อัน ๆ จะไม่เสียหายในสารละจาย ไบถูกสลายการบ้านอย่างช้า ๆ
ในการใช้ไฟ เน้นกันนี้



เคมีของแอลนทานในกรณีของออกซิเกนสเก็ต $+4$

ออกซิเกนสเก็ตนี้รักษาเป็นสกุลอะมิเนของธาตุและในกรณี พนัก
มักเกิดเป็นสารปรับปรุงพาก double salts เช่น $\text{Ce}(\text{NO}_3)_4 \cdot 2\text{NH}_4\text{NO}_3$

และ $\text{Ce}(\text{SO}_4)_2 \cdot 2(\text{NH}_4)_2\text{SO}_4 \cdot 2\text{H}_2\text{O}$ เป็นกัน สารรับค่า standard oxidation potential ที่ 25°C ในสารละลายน้ำของ Ce^{+4} และ Pr^{+4} เป็นดังนี้



การห้าม เหตุการณ์แสดงให้เห็นว่า $\text{Ce}(\text{IV})$ และ $\text{Pr}(\text{IV})$ เป็นตัวออกซิไคซ์ที่แรง สารรับในสภาพของของแข็งหรือสารละลายน้ำมีประภากลุ่มของ $\text{Ce}(\text{IV})$ จะเสียบ แต่ $\text{Pr}(\text{IV}), \text{Nd}(\text{IV}), \text{TB}(\text{IV})$ และ $\text{Dy}(\text{IV})$ จะเสียบมากเมื่ออยู่ในสารละลายน้ำน้ำ

ออกซิเกฟฟ์นสเก็ต และ Oxidation Potentials ของธาตุออกซิไคซ์

ออกซิเกฟฟ์นสเก็ต +3 เป็นการสามัญของธาตุกลุ่มนี้ เช่น เก็บกัน ธาตุแคนทราน์ และ Standard electrode potential (E°) ในหน่วยของ Volts ให้แสดงไว้ในตารางที่ 4.7 นั้น ธาตุที่มีออกซิเกฟฟ์นสเก็ต +3 มีความเสียบมากขึ้นเมื่อเดรอซัทอนิกเพิ่มขึ้น เพราะการเกิดเป็นออกซิเกฟฟ์นสเก็ต +3 น้ำยากรื้น เมื่อเดรอซัทอนิกเพิ่มขึ้น ถ้าเปรียบเทียบกับแคนทราน์ ก็จะพบว่า E° สารรับ $\text{Ln}^\circ/\text{Ln}^{+3}$ จะเป็นบวกมากขึ้นเมื่อเดรอซัทอนิกเพิ่มขึ้น เนื่องมาจากการหดขนาดแบบแคนทราน์ที่น้ำ ด้านออกซิไคซ์ในกรณี E° สารรับ $\text{Am}^\circ/\text{Am}^{+3}$ มีการเป็นบวกมากขึ้น แต่ $\text{Ac}^\circ/\text{Ac}^{+3}$ และ $\text{U}^\circ/\text{U}^{+3}$ ไม่ได้มีการหดขนาดแบบแคนทราน์ แต่ $\text{Ce}^{+4}/\text{Ce}^{+3}$ สารรับ $\text{Pu}^{+4}, \text{Np}^{+4}$ และ U^{+4} เป็นตัวออกซิไคซ์ที่ออกกว้าง และ U^{+3} เป็นตัวออกซิไคซ์ที่แรง

ตารางที่ 4.7 ค่าปฏิกิริยาและศักดิ์ในกรด และค่า standard electrode potentials, E (in Volts) สำหรับกากากร ณ ในสภาวะ

Actinides	Oxidation States ^a	E^\ominus Values ^b (in Volts)
Ac	+3	$\text{Ac}^0 \xrightarrow{2.6 \text{volts}} \text{Ac}^{+3}$
Th	+4	$\text{Th}^0 \xrightarrow{1.90} \text{Th}^{+4}$
Pa	(+4), +5	$\text{Pa}^0 \xrightarrow{(0.9)} \text{Pa}^{+4} \xrightarrow{0.1} \text{PaO}_2^+$ $\text{Pa}^0 \xrightarrow{1.0} \text{PaO}_2^+$
U	(+3), (+4), (+5), +6	$\text{U}^0 \xrightarrow{1.80} \text{U}^{+3} \xrightarrow{0.631} \text{U}^{+4} \xrightarrow{-0.58} \text{UO}_2^+$ $\text{UO}_2^+ \xrightarrow{-0.063} \text{UO}_2^{2+}; \text{U}^{+4} \xrightarrow{-0.32} \text{UO}_2^{+2}$
Np	(+3), (+4), +5, (+6), (+7)	$\text{Np}^0 \xrightarrow{1.83} \text{Np}^{+3} \xrightarrow{-0.155} \text{Np}^{+4} \xrightarrow{-0.739} \text{NpO}_2^+$ $\text{NpO}_2^+ \xrightarrow{-1.137} \text{NpO}_2^{2+}; \text{Np}^{+3} \xrightarrow{0.447} \text{NpO}_2^+$ $\text{Np}^{+4} \xrightarrow{-0.938} \text{NpO}_2^+$
Pu	(+3), +4, (+5), (+6), (+7)	$\text{Pu}^0 \xrightarrow{2.03} \text{Pu}^{+3} \xrightarrow{-0.981} \text{Pu}^{+4} \xrightarrow{-1.172} \text{PuO}_2^+$ $\text{PuO}_2^+ \xrightarrow{-0.913} \text{PuO}_2^{2+}$
Am	+2, (+3), (+4), (+5), (+6)	$\text{Am}^0 \xrightarrow{(2.7)} \text{Am}^{+2} \xrightarrow{1.5} \text{Am}^{+3}$ $\text{Am}^{+3} \xrightarrow{-2.4} \text{Am}^{+4} \xrightarrow{-1.04} \text{AmO}_2^+ \xrightarrow{-1.60} \text{AmO}_2^{2+}$
Cm	+3, (+4)	$\text{Cm}^0 \xrightarrow{(-2.80)} \text{Cm}^{+4}$
Bk	+3, (+4)	$\text{Bk}^0 \xrightarrow{(-1.6)} \text{Bk}^{+4}$
Cf, Es, Fm	+3	-
Md	+3	$\text{Md}^{+2} \xrightarrow{(0.2)} \text{Md}^{+3}$
No	+3	$\text{No}^{+2} \xrightarrow{(-1.4)} \text{No}^{+3}$
Lw	+3	-

^aLess stable states are given in brackets

^bEstimated values are given in bracket.

แยกหินก้อนที่มีอออกซิเกนส์เทก +2

อะเมริเซียม (Am) เพียงชากุเที่ยว่ามีอออกซิเกนส์เทก +2 นี้ และเสถียรอยู่ได้ในสารละลายน้ำ CaF_2 เหน่นนี้ ส่วนชากุแยกหินก้อน ๆ ไม่มี การศึกษาใน Am^{+2} นี้เพิ่งศึกษาได้จาก Optical and electron spin resonance spectra พนิชไกยหัวไปมีคุณสมบัติกล้าบ Ln^{+2}

แยกหินก้อนที่มีอออกซิเกนส์เทก +3

+3 เป็นอออกซิเกนส์เทกสามัญส่วนชากุแยกหินก้อน พนิช Ac , Pu และชากุแยกหินก้อน ๆ ที่มีเลขอะตอมต่ำกว่า 7 เกิดเป็นอออกไซด์แบบ Am_2O_3 ซึ่งเป็นชากุที่มีส่วนประกอบเหมือนกัน (isomorphous) กับ Ln_2O_3 ส่วนมากสารรับประทานในเกรด เปอร์ซ็อกอลและซัลเฟตจะละลายได้ในน้ำ ขณะที่พลาสติกรับประทานไม่ละลายในน้ำ ชากุแยกหินก้อนเกิดเป็นสารรับประทานเชิงชอนกัน EDTA ไกเซนเที่ยวกับชากุและ lanthanide-EDTA complexes มีความเสถียรน้อยกว่า Actinide-EDTA complexes

แยกหินก้อนที่มีอออกซิเกนส์เทก +4

อออกซิเกนส์เทก +4 นี้เป็นอออกซิเกนส์เทกที่เสถียรสำหรับ Tm ไปจนถึง Am , Am^{+4} และ Cm^{+4} คงค่าว่ายังไก่โดยเกิดเป็นสารรับประทานเชิงชอนในสารละลายน้ำซึ่งเป็นกรดต่อ ไกยหัวไปเมื่อของ Am^{+4} กลับกันของ Ln^{+4} สารรับประทานฟลูออไรด์และฟอสเฟตที่มีน้ำบล็อกของ Am^{+4} และ Ln^{+4} ในตระมาณในน้ำ สารรับประทาน ThO_2 , PaO_2 , UO_2 , NpO_2 , AmO_2 , CmO_2 , และ BkO_2 มีโครงสร้างแบบ fluorite สารรับประทานเทอร์บอไรด์ และเทอร์บอไรน์ทราบว่าเกิดกับ Th , Pa , U และ Np ไก่เห็นนี้ แต่เทอร์บอไรด์ของ Th , Pa , และ U สามารถแยกออกจากไก่ สารบาระกอน oxyhalides

อย่าง Th, U, และ Np เกิดขึ้นจากการยา AnX_4 กับ Sb_2O_3 สำหรับการเกิดเป็นสารประกอบเชิงชั้นเดียวเกิดไก้กับลิแกนค์ประจุลบส่วนใหญ่ เช่น HSO_4^- , NO_3^- , Cl^- และอื่น ๆ

ออกซิในกําลิโอนพิมือออกซิเทเรียนสเกต +5

ออกซิเทเรียนสเกตนี้สำคัญมากสำหรับ Pa พบว่า Pa^{+5} คล้ายกันมากกับ Na^{+5} และ Ta^{+5} ส่วน U, Np, Pu, และ Am เกิดเป็นอิโอน +5 ไก่แต่ไม่คล้ายสำคัญ และสารประกอบ pentahalides ก็เกิดเฉพาะกับ Pa^{+5} และ U^{+5} เท่านั้น

สารประกอบ fluoro anions ของ Pa, U, Np, และ Pu เกิดเป็นแบบ AnF_6^- , AnF_7^{-2} และ AnF_8^{-3} โดยอุบัติเป็นของแข็งที่เสถียร สารประกอบ oxychlorides: AnOCl_3 ($\text{An} = \text{Pa}, \text{U}, \text{Pu}$) ก็รักกันดีพบว่า AnO_2^+ (monovalent dioxo cation) เป็นอิโอนพิมือความสำคัญมากที่สุด มันมีโครงสร้างเป็นเส้นตรง (linear) หงในสภาพที่เป็นของแข็งและสารละลาย อิโอนท่านี้สามารถเกิดเป็นสารประกอบเชิงชั้นกับลิแกนค์ที่มีประจุลบ และ ลิแกนค์ที่เป็นกลางได้มากน้ำ

ออกซิในกําลิโอนพิมือออกซิเทเรียนสเกต +6

ตัว U, Np, Pu และ Am ทำก็มีออกซิเทเรียนสเกต +6 นี้ไก่โดยในรูปของ AnO_2^{+2} (divalent dioxo cation) ซึ่งอิโอนนี้ก็เช่นกัน มีโครงสร้างเป็นเส้นตรงหงในสภาพของแข็งและสารละลาย เช่น UO_2F_2 มีกลุ่ม O-U-O ที่เป็นเส้นตรง โดยมีพื้นที่รีวีนเรื่องของพันธะระหว่าง O-U มีความกว้าง 1.75 ถึง 2.00 Å โครงสร้างหงหมกเรียงกันเป็นแบบ flattened octahedral

แม้ว่า AnO_2^{+2} จะมีสักหนะเป็นเส้นตรงแต่เวลามันเกิดเป็นสารประกอบเชิงช้อน มันจะมีรูปทรงทาง ๆ กันแล้วแต่ว่าจะมีเลขโคลอคิเนชันเป็น 4,5 หรือ 6

ออกทินก็อตอนที่มีออกซิเกชันสเตต +7

มีแค่ Np และ Pu เท่านั้นที่มีออกซิเกชันสเตตนี้ การทำอิเลคโทรเิสชิส หรือ ozone oxidation ของ Np^{+5} หรือ Np^{+6} ใน NaOH จะในสารละลายน้ำลายสีเขียวของ NpO_5^{-3} ซึ่งจะถูกปริกาว์ย่างชา ๆ ให้ Np^{+7} ที่ 25 °C (E° สำหรับ $\text{Np}^{+7}/\text{Np}^{+6} = 0.58$ Volts ใน 1M NaOH) ความคงค้างอยู่ได้ของ Np^{+7} บันบันใจจาก Mossbauer Spectra

ส่วน Pu^{+7} ไก้จากการเผา PuO_2 และ Li_2O ด้วย O_2 ที่ 430 °C ไก้เป็น Li_5PuO_6 เกิดขึ้น เมื่อของ Np^{+7} และ Pu^{+7} คล้ายกันของ Re^{+7} และ Te^{+7}

4.6 เกมีของสารประกอบโคลอคิเนชันของชาคุและนาโนค์ และชาคุออกทินค์

ชาคุและนาโนค์ เป็นชาคุอิเลคโทร โพลิทิฟ และประพุตคิค้า เป็น hard acids เกิดเป็นสารประกอบโคลอคิเนชันไก้กับพวากพูดของ iron และ oxygen donor ligand แทการชาคุพลังงานเสถียรของสนามสิแกนค์ (Ligand Field Stabilization Energy:LFSE) เนื่องจาก 4f ของมันที่ลับยังคงอยู่ดีก

จึงเกิดพันธะที่มีแรงกระทำซึ่งกันและกันระหว่าง โลหะและลิแกนกอนอยมาก ส่งผลให้สารประกอบโลหะออกิเนชันไม่คงตัว เนื่องจากเมื่อเกิดเป็นสารประกอบโลหะออกิเนชันกับลิแกนค์พวง ในโตร เจน ชัล เพอร์ และ อา โล เจน (ยกเว้น พลูอิร์ค) แล้ว สารประกอบกังกล้ำไม่คงตัวในน้ำ ความคงตัวที่ลดลงเนื่องมาจากการขาด LFSE นี้ ทำให้พากสารประกอบโลหะออกิเนชันท้องเพิ่มเล็ก โลหะออกิเนชันใหม่จำนวนมากขึ้น

และจัดเรียงโครงสร้างเรขาคณิตใหม่ เช่น เปลี่ยนูปจาก octahedral geometry ไปเป็น trigonal prismatic geometry , square antiprismatic geometry อย่างไรก็ตามสารประกอบโลหะออกิเนชันเหล่านี้แนวโน้มที่จะ labile ในสารละลาย ในการที่ 4.8 ให้เบรี่ยนเทียนดูสมบัตินางประการของอิออนโลหะและน้ำใน ก และอิออนโลหะทราบซึ้ง

ชาตุแยกที่ในก้นน้ำมีความแตกต่างไปจากราดูและนาในก์ในการ เกิดสารประกอบโลหะออกิเนชัน เนื่องจากชาตุแยกที่ในก์มีสถานการณ์ที่ 5f, 6d, 7s, และ 7p ออร์บิทัล มีผลลัพธ์งานเกือบเท่ากัน (โดยเฉพาะอย่างยิ่ง ป ดัง AIII) นอกจานี้ออร์บิทอล์สามารถ overlap ให้มาก ดังนั้นการเกิดพันธะจึงเกิดให้ไม่ว่า จะเป็นในออร์บิทอล์ใน หรืออาจเกิดให้ทุกออร์บิทอล์ให้ สถานการณ์อันนี้ให้เห็นว่า ชาตุแยกที่ในก์แนวโน้มที่จะเกิดสารประกอบโลหะออกิเนชันให้มากกว่าชาตุแยกที่ในก์ ซึ่งในชาตุแยกที่ในก์แล้วพบว่า มีพันธะเป็นอิออนิก ส่วนในชาตุแยกที่ในก์พันธะเป็นโกราเดนซ์ ยิ่งกว่านี้ ชาตุแยกที่ในก์ สามารถเกิดเป็นสารประกอบโลหะออกิเนชันให้แนบพวง π -bonding ligands เช่น เกี่ยวกับการเกิดเป็นสารประกอบโลหะออกิเนชันให้กับพวง และไอโซซัลเพท ซึ่งความแตกต่างจากกรณีของสารประกอบโลหะออกิเนชันของชาตุแยกที่ในก์ ปกติจะเป็นไปในก้านของการมีส่วนร่วมของ covalent-hybrid bonding ที่มี 5f อิเลคตรอน ร่วมอยู่กับ เนื่องจาก ชาตุส่วนใหญ่ของชาตุแยกที่ในก์เป็น ชาตุกัมมันกภาพรังสี (Radioisotope elements) เกมนีของชาตุและสารประกอบ ส่วนใหญ่ของชาตุแยกที่ในก์จึงเป็น Radiochemistry

ตารางที่ 4.8

คุณสมบัติทางประการของชิ้นส่วนในวงไออกะฟาร์ม

เชิง และ คุณสมบัติทางเคมี

	Lanthanide ion	First Series Transition Metal Ions.
Metal orbitals	4f	3d
Ionic Radii	1.06-0.85 Å	0.75-0.6 Å
Common Coordination no	6,7,8,9	4,6
Typical coordination-polyhedra	Trigonal prism Square antiprism Dodecahedron	Square planar Tetrahedral Octahedral
Bonding	Little metal-ligand orbital interaction	Strong metal ligand interaction
Solution complexes	Ionic, rapid ligand exchange	Often covalent may exchange slowly

ชาตุแสวงหาในก์เกิลเป็นสารประกอบเชิงชั้นไก้ไม่น่าเท่าชาตุแสวงหานี้ก็
หลัก แม่เมี่ยนา ไม่มีที่จะเพิ่มขึ้นเมื่อเชื้อจะคอมิคเพิ่มขึ้น อิเลคโทรอนอยู่ลึกภายใน
อะคอม จึงถูกบังจากสิ่งแวดล้อมที่จะมากระทำให้ ผลักกือชาตุแสวงหาในก์เนื่องกับ
พ่วงชาตุอีสก้าในน์เออร์ที่หันปฎิกริยา กับลิแกนท์บูรังที่เกิดจากแรงกิงคุกของประจุ
ทางชนิกเท่านั้น (Electrostatic forces) ดังนั้นเราการจะเห็นใจว่า
จะมีการตกลงของการเกิลสารประกอบเชิงชั้นกับลิแกนก์ไก้กามสักกับดังนี้ $\text{Ln}^{+4} >$
 $\text{Ln}^{+3} > \text{Ln}^{+2}$ แนวโน้มของ Ln^{+3} ในการเกิลสารประกอบเชิงชั้นในสารละลาย
ปราศจากน้ำ (anhydrous Ln^{+3}) นั้นเพิ่มขึ้นจาก La^{+3} ไปยัง Lu^{+3} ส่วน
 Ln^{+3} ที่มีอยู่ในสารละลาย $\text{Ln}^{+3}(\text{aq})$ เป็น hydrated ion จะตกลงจาก
 La^{+3} ไปยัง Lu^{+3} ความแตกต่างนี้เนื่องมาจากขนาดของ Ln^{+3} ตกลงช่วยที่
 $\text{Ln}^{+3}(\text{aq})$ เพิ่มขึ้นความเชื้อจะคอมิค

จากการพิชชาตุแสวงหาในก์ในมีออร์บิตัลที่เหมาะสมสมสำหรับการเกิลพันธะ
มีความเป็นเบสสูง และขนาดของอิเลคตรอนประจุบวก Ln^{+3} มีขนาดก่อนชั่งใหญ่
จึงเกิลเป็นสารประกอบเชิงชั้นไก้มากกับ Chelating ligands ที่มีออกซิเจน
หรือออกซิเจนกับในไกร เชนอยู่ๆ เช่น β -diketones, hydroxo acids
(เช่น tartaric acid หรือ citric acid) amino acids ทางๆ
ที่เป็นแบบ $\text{RN}(\text{CH}_2\text{COOH})_2$ และ $\text{N}(\text{CH}_2\text{COOH})_3$, EDTA, oxine ตัวอย่าง
ของ β -diketones ที่เกิลสารประกอบกับ Ln^{+3} เกิลเป็นแบบ



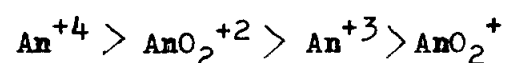
ส่วน Ln^{+3} ที่เกิลกับพ่วง non-chelated species เช่น
 พ่วง amines: $\text{LnCl}_3 \cdot x\text{NH}_3$ พ่วง amine adducts: $\text{LnCl}_3 \cdot \text{RNH}_2$
 พ่วง antipyrine adducts: $[\text{Ln}(\text{ap})_6 \text{X}_3]^{\pm} \text{X}$ ไก้กับ I^- , IO_4^- , NCS^- ,

และ ap = antipyrine

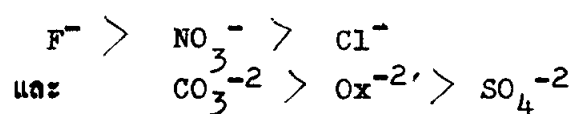
เนื่องจากแผนทานี้เป็นมาตรฐานให้ใช้ในการทดสอบ ซึ่งมีแนวโน้มอยู่ที่จะเกิดสารประกอบเชิงชั้นกับ π -bonding ligands อย่างไรก็ตามมีการเตรียมสารประกอบเชิงชั้นกับ 1,10 phenothroline และ α,β -dipyridyl ใหม่ๆ สำหรับ Cyclopentadienides ที่เป็นไปตามมาตรฐานสารสันติชัย ($C_6H_5)_3Ln$ ที่เตรียมไว้ เช่นกัน สารประกอบเชิงชั้นที่กล่าวมาเป็นอิโซนิก และมีไมเนนกัมเมลล์กัมเช่นเดียวกันคือ Ln^{+3} มีผลของการศึกษา ($C_6H_5)_3Ln$ พนิชสารประกอบเหล่านี้มีคุณสมบัติเป็นเกลือมากกว่าที่จะเป็นสารประกอบแบบเชิงชั้นส่วน Eu และ Yb จะเกิดเป็นสารประกอบกับ Cyclopentadienides เป็นแบบ ($C_6H_5)_2Ln$ เมื่อ $Ln = Eu$ หรือ Yb สารประกอบเชิงชั้นส่วนในนี้มีรูปร่างเป็น octahedral และสารประกอบที่มีเลขโภคอคิเน็น 8,9 และ 10 ก็พบว่าย

การเกิดพันธะระหว่างแผนทานี้ก็อ่อน และ Coordinating ligands ที่เกิดขึ้นกับอิเลคโทรโกร เนกากิวิท่องอะคอมที่เกิดพันธะในลิแกนด์ การเกิดพันธะสำหรับ monodentate ligands จะเป็นไปตามลำดับกันนี้ F^- , OH^- , H_2O , NO_3^- , Cl^- ส่วนการเกิดพันธะกับพวก bidentate ligands ในนี้ จะเกิดไกโดยเมื่อลิแกนด์เป็นพวก chelate rings ที่มีออกซิเจนอะтомอยู่ภายใน

นอกจากความสามารถในการเกิดเป็นสารประกอบเชิงชั้นไกกับสารอินทรีย์มากมาย การเกิดเป็นสารประกอบเชิงชั้นเกิดไกกับความจำถ้ากับลักษณะของกันนี้



นอกจากนี้การเกิดสารประกอบเชิงชั้นกับลิแกนด์ที่มีประจุลักษณะนี้



4.7 ສືບະສະເປັດກາຖຸກຄົນ

(ก) ສືບະສະເປັດກາຖຸກຄົນຂອງແຄນຫາໃນກ້ອອນ (Ln^{+3})

ໂຄຍຫົວໄປແຄນຫາໃນກ້ອອນ Ln^{+3} ມີສີ່ດ້ວຍໃນວ່າຈະອູ້ໃນສາຮະລາຍ
ທີ່ມີນ້າຫຼອມນີ້ນ້າ ແລະ ຈະຢັງຄົນສີເຄີມເສມອໃນວ່າຈະມີອີອນປະຈຸບນາເກີກສາຮປະກອນ
ເຊີງຂອນກັນມັນກີການ ຕັ້ງນັ້ນສີຂອງແຄນຫາໃນກ້ອອນຈຶ່ງເປັນສີຂອງຄັ້ງມັນເອງໃນຂື້ນກັນອີອນ
ປະຈຸບນຫຼືອໝູດອື່ນໃກ ຜົນສັກໄວ້ໃນກາງຈຶ່ງ 4.9

ຈາກກາງຈຶ່ງ 4.9 ມີຂອທິນໍາສັກເກຸກນີ້

(1) Ln^{+3} ມີເລັກກຣອນຈຳນວນ x ຕັ້ງ ແລະ ທີ່ມີເລັກກຣອນຈຳນວນ
(14-x) ຕັ້ງອູ້ໃນ 4f ອອຽນີ້ທີ່ຈະມີສີເກີບກັນ ເຊັ່ນ Pr^{+3} ແລະ Tm^{+3} ມີເລັກກຣອນ
ຈຳນວນ 2 ຕັ້ງ ແລະ $14-2=12$ ຕັ້ງການສໍາກັນ ພວຍວ່າອີອນພັ້ນສອງຕັ້ງທີ່ມີສີເຊີຍເຊັ່ນ
ເກີບກັນ ຈະເປັນໄກວ່າ 4f ອອຽນີ້ທີ່ຄືອພັ້ນສັກເກຸກນີ້ຂອງ Ln^{+3}

(2) ສີຂອງ Ln^{+3} ທັງແກ່ La^{+3} ໄປຈົນຄຶງ Gd^{+3} ແລະ ຈາກ Lu^{+3}
ໄປຈົນຄຶງ Gd^{+3} ມີສີເຊັ່ນເກີບກັນ ສັກຜະນີສຽບໄກວ່າ ສີຂອງອີອນຈະຂື້ນກັນຈຳນວນ
ອີເລັກກຣອນເກີບໄວ້ໃນ 4f ອອຽນີ້ທີ່ ແກ່ສ້າງຮົມ Ln^{+2} (ເຊັ່ນ Sm^{+2} , Eu^{+2} , Yb^{+2})
ແລະ Ln^{+4} (ເຊັ່ນ Ce^{+4}) ທີ່ຈຶ່ງເປັນ isolectronic ກັນ Ln^{+3} ນັ້ນມີສີກຳກັນ
ບອນໝາຍຄວາມວ່າການມີສີຂອງອີອນມີການສັບພັນຫຼອນນາກກວ່າທີ່ກ່ອງຈາວນາ ຕັ້ງຍ່າງທີ່
ເປັນໄກຮັກຄືອ ພັ້ນ $\text{Eu}^{+3}(4f^6)$ ແລະ $\text{Sm}^{+2}(4f^6)$ ມີຈຳນວນອີເລັກກຣອນເກີບເຫຼັກນີ້
6 ເຊັ່ນເກີບກັນ ແກ່ອີອນພັ້ນສອງມີສີກຳກັນຄືອ Eu^{+3} ໃນມີສີ ສ່ວນ Sm^{+2} ມີສີແກ່
ເປັນຕານ

(3) ສີຂອງ Ln^{+3} ມີຄວາມສັນພັນທັນກາຮັກເຮັບເງິນອີເລັກກຣອນຂອງ
 Ln^{+3} ຈະເປັນໄກວ່າ Ln^{+3} ທີ່ມີມີເລັກກຣອນເກີບໄວ້ໃນ 4f ອອຽນີ້ທີ່ (ໃນວ່າຈະເປັນ
 $4f^0$ ມີ 4f¹⁴ ກີການ) ມີ Ln^{+3} ທີ່ມີກາຮັກເຮັບເງິນອີເລັກກຣອນເຕີມເພີ່ງກົງໜຶ່ງ
ຂອງ 4f ອອຽນີ້ທີ່ (ຄືອ 4f⁷) ທີ່ພັ້ນສອງກາຮັກເຮັບເງິນຈະໃນມີສີ ເຊັ່ນ $\text{La}^{+3}(4f^0)$

ตารางที่ 4.9 สีและความยาวคลื่น (Å) ของแผลนแสงถูกกลืนของ Ln^{+3} ions ในสารละลายที่มีน้ำ

Ln^{+3} ions *	สีและความยาวคลื่น	Ln^{+3} ions *	สีและความยาวคลื่น
Ln^{+3} $(4f^0, n=0)$	ไม่มีสี (ไม่มีการถูกกลืนแสงในช่วงวิสเปิลหรืออุตตราไวโอลีทเรดที่อนพาร์เกต)	Lu^{+3} $(4f^{14}, n=0)$	ไม่มีสี (ไม่มีการถูกกลืนแสงในช่วงวิสเปิลหรืออุตตราไวโอลีทเรดที่อนพาร์เกต)
Ce^{+3} $(4f^1, n=1)$	ไม่มีสี (ไม่มีการถูกดูดซึมนแสงในช่วงวิสเปิล ยกเว้นในช่วงอุตตราไวโอลีทเรด 2105 2220 2380 2520)	Yb^{+3}	ไม่มีสี (ไม่มีการถูกดูดซึมนแสงในช่วงวิสเปิล ยกเว้นในช่วงอนพาร์เกต 9750)
Pr^{+3} $(4f^2, n=2)$	สีเขียว (4445 4690 4822 5885) $\text{X} 4f^{12}, n=2$	Tm^{+3}	สีเขียว (3600 6825 7800)
Nd^{+3} $(4f^3, n=3)$	สีเขียว (3540 5218 5745 7395) $\text{X} 4f^{11}, n=3$	Er^{+3}	สีเขียว (3642 3792 4870 5228 6525)
Pm^{+3} $(4f^4, n=4)$	สีเขียว-เหลือง (5485 5680 7025 7355) $\text{X} 4f^{10}, n=4$	Ho^{+3}	สีเขียว-เหลือง (2870 3611 4508 5370 6404)
Sm^{+3} $(4f^5, n=5)$	สีเขียวอ่อน (3625 3745 4020)	Dy^{+3}	สีเขียวอ่อน (3504 3650 9100)
Eu^{+3} $(4f^6, n=6)$	สีเขียวเข้ม	Tb^{+3}	สีเขียวเข้ม
Gd^{+3} $(4f^7, n=7)$	ไม่มีสี (ไม่มีการถูกดูดซึมนแสงในช่วงวิสเปิล ยกเว้นในช่วงอุตตราไวโอลีทเรด 2729 2733 2754 2756)	Gd^{+3}	ไม่มีสี (ไม่มีการถูกดูดซึมนแสงในช่วงวิสเปิล ยกเว้นในช่วงอุตตราไวโอลีทเรด 2729 2733 2754 2756)

* ตารางเรียงอุตตราไวโอลีทเรดและจำนวนอุตตราไวโอลีทเรดเก็บไว้ (Å) ใน อาร์บิเต็ลแคนไวไฟวงแม่เหล็ก

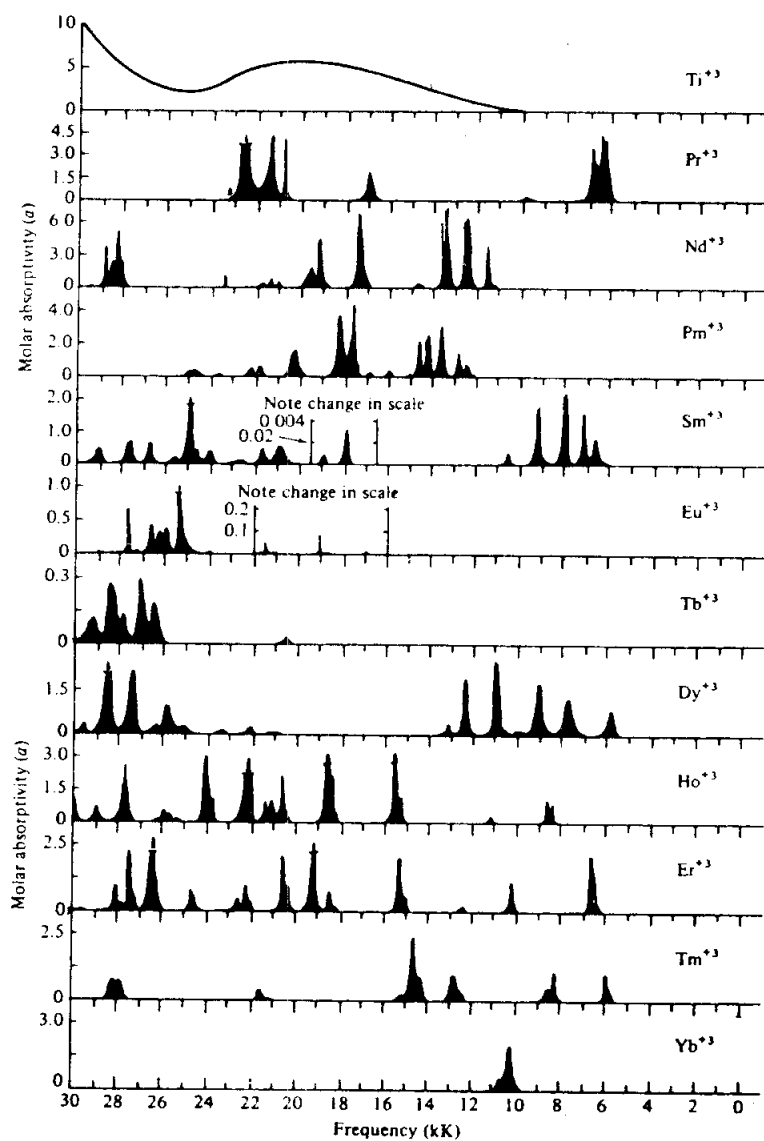
Gd^{+3} ($4f^7$) และ Lu^{+3} ($4f^{14}$) ไม่มีสีหั่นหมก

การเกิดสีของแอลนาไนโตรอ่อน

สีของแอลนาไนโตรอ่อนเกิดจาก Laporte-forbidden f-f transition นั้นเกิดการกระโ郭ขามพลังงานระหว่างชั้น J States ของ อิเลคตรอนใน $4f$ อยู่บิทัลนั่นเอง เมื่อเป็นเช่นนี้แอลนาไนโตรอ่อนจะเป็นสีเดียวและชัดเจน เช่น Ce^{+3} และ Yb^{+3} จะเป็นสีเข้มแคร์เป็นแอลนาไนโตรอ่อน (weak but sharp) เมื่อเปรียบเทียบกับชาตุราชนิชัณหลัก แอลนาไนโตรอ่อนจะเป็น line-like spectra ซึ่งเป็นแอลนาไนโตรอ่อนที่มีความแคบ (narrow bands) เนื่องมาจากการ f-f transition แต่ไม่ชัดเจนมาก แต่เมื่อเปรียบเทียบกับชาตุราชนิชัณหลัก แอลนาไนโตรอ่อนจะเป็นสีเดียวและชัดเจน เช่น Lu^{+3} จึงไม่ถูกสังเวยด้วยตัวมันหรืออ่อนประจุลบที่เข้าบวกกันเลย ดังแสดงไว้ในรูปที่ 4.4

การเห็นสีของอ่อนเป็นผลจากการที่เกิดสีของแอลนาไนโตรอ่อน แล้วปลดปล่อยแสงที่มีความยาวคลื่นอันน้อยกว่า 400 nm ซึ่งเรียกว่า "Visible region" หรือในช่วงอุตสาหกรรมเรียกว่า "Visible light" สำหรับ Ce^{+3} และ Gd^{+3} หรือในช่วงอินฟารेट (Infrared region) เช่น Yb^{+3} สำหรับ Lu^{+2} จะเกิดสีของแอลนาไนโตรอ่อนในช่วงอุตสาหกรรมเรียกว่า "Infrared light" และ Lu^{+4} คือ Ce^{+4} ที่แสดงไว้ในสาระสำคัญที่มีน้ำหนักตัวมากกว่า Lu^{+3} จะเกิดสีของแอลนาไนโตรอ่อนในช่วงอุตสาหกรรมเรียกว่า "Visible light"

สำหรับ Ce^{+3} , Tb^{+3} , Sm^{+2} , Eu^{+2} และ Yb^{+2} พบร่วมกับ Laporte-permitted bands ซึ่งเกิดจากกระโ郭ขามชั้นพลังงานจาก $4f^n \rightarrow 5d^1$ ซึ่งแสดงให้เห็นว่ามีสีเดียวและกว้าง (strong and broad band) เมื่อจากเป็นการกระโ郭ขามชั้นพลังงานที่ถูก



ຟັກ 4.4 ສະເປັກຄຣາຄູຄລືນແສງຂອງ Pr^{+3} , Nd^{+3} , Pm^{+3} , Sm^{+3} , Eu^{+3} , Tb^{+3} , Dy^{+3} , Ho^{+3} , Er^{+3} , Tm^{+3} , ແລະ Yb^{+3} ໃນສາງລະດາຍກຽດເຈື້ອ
ຈາກ ເປົ່າຍນເທີຍກັບສະເປັກຮັນຂອງ Ti^{+3} (W.T.Carnall and P.R.Field,
"Lanthanide /Actinide Chemistry,"Advances in Chemistry Series,
No.71,American Chemical Society,Washington,D.C.,1967)

สิ่งแรกคือการห้าไก่ย่าง ส่วน Ce^{+4} ที่พบว่ามีรูปแบบนี้เกิดมาจากการ Charge Transfer Transition ซึ่งเป็นการกระทำการขับไล่ของงานจากอิเล็กตรอนไปยัง f ของบีตัลของเชิงเรียบ ส่วน Eu^{+3} ที่เกิดเป็นสารประกอบกัมมิชันประดุจที่มีคุณสมบัติเป็นศูนย์ตัวชี้มัฟฟ์เดลล์น่องน้ำจากมีการกระทำการขับไล่ของอิเล็กตรอนจากไธอะนั่นเอง

(๙) สีและสเปกตร้ากุกตันของออกไซน์ก็อตต์

(Colours and Absorption Spectra of Actinide ions)

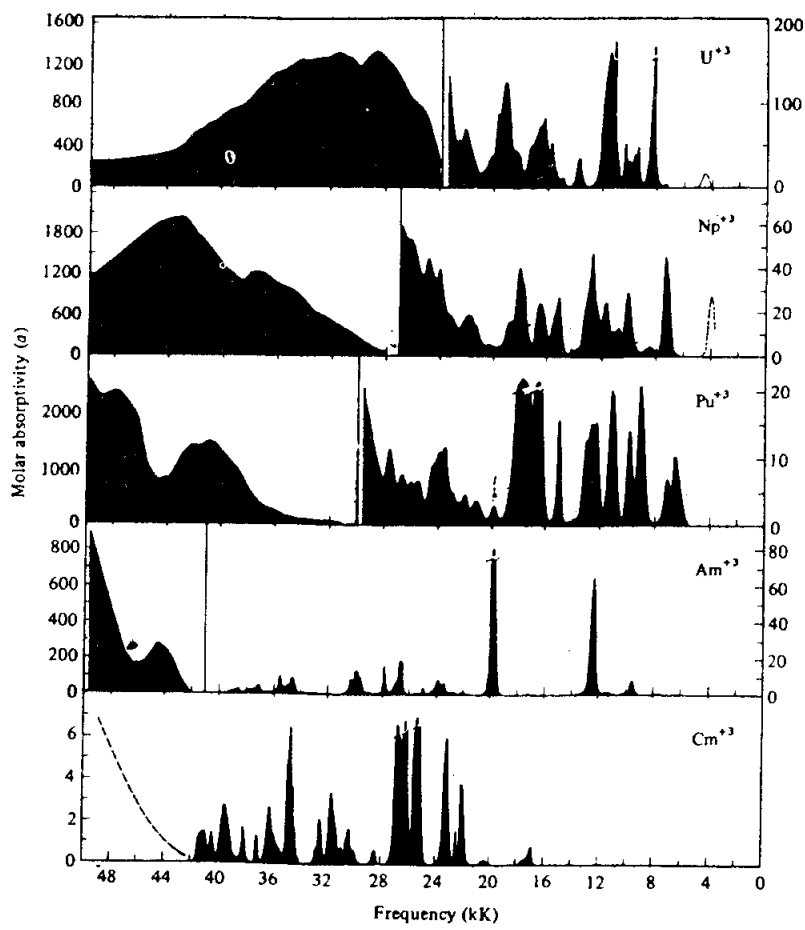
สีและความยาวคลื่นของแคนน์แสงของออกไซน์ก็อตต์ในก๊าซออกไซด์ เช่น An^{+3} , An^{+4} , AnO^{+} และ AnO_2^{+2} ไก่สกงไว้ในตารางที่ 4.10 จะเห็นว่าหากตารางว่า เมื่อเปรียบเทียบกันระหว่างสีของ Ln^{+3} และ An^{+3} พนวากุกตันของออกไซด์ที่มีจำนวน f อิเล็กตรอน (4f และ 5f อิเล็กตรอน) จะมีสีใกล้เคียงกันมาก ตัวอย่าง เช่น $Na^{+3}(4f^3)$ มีสีแดงคล้ายกับ $B^{+3}(5f^3)$ ก็มีสีสกง $Gd^{+3}(4f^7)$ ในเมื่อสีเขียวเกือบกับ Cm^{+3} และ $Ce^{+3}(4f^1)$ ก็ไม่มีสีเขียวเกือบกับ $Pa^{+4}(5f^1)$

สเปกตร้ากุกตันแสงของออกไซน์ก็อตต์ในสารละอ้ายังมีน้ำและในผสานมีสีกุณยะเป็นแคนน์แสง และพบในช่วงวิธีเบี้ยต์ ถูกทราบไว้โดยเดาที่น่าจะเป็นไปได้ และอินฟารेकท์บ้านไปด้วย การ เกิดสเปกตร้าของออกไซน์ก็อตต์ในก๊าซออกไซด์ เกิดจากการกระทำการขับไล่ของงานของ 5f อิเล็กตรอน สาหัสน์สเปกตร้าของชาตุออกไซด์ในก๊าซสกงไว้ในรูปที่ 4.5 ซึ่งจะเห็นได้ว่าสีกุณยะของสเปกตร้าแม้จะใกล้เป็นสองสีกุณยะก็ตาม

1. Pu^{+3} และชาตุออกไซด์ในก๊าซมีสีเดียวของอนิโกราดกว่า B^{+3} และ Np^{+3} มีสีกุณยะสเปกตร้าคล้ายกับของชาตุทรายนิลน้ำเงินที่สกุชิงสเปกตรานีสีกุณยะกว้าง เนื่องจากมีการที่ 5f ของบีตัลในไก่สกงตัวอยู่ลึก จึงทำให้มีแรงกระทำที่น้ำหนักและกันระหว่างไส้หนาและอิเล็กตรอนมาก สงผลให้สเปกตรานีสีกุณยะกว้าง (broad band) อันเนื่องมาจากความต้องการสั่นสะเทือนของอิเล็กตรอนนั่นเอง

ตารางที่ 4.10 สีและความยาวคลื่น (ในหน่วย Å) ของอิเล็กตรอนและออกไซด์ในกํา An³⁺, An⁴⁺, AnO₂⁺ และ AnO₂²⁺ ในสารประกอบที่มีน้า

ธาตุ	An ⁺³ ions	An ⁺⁴ ions	AnO ₂ ⁺ ions	AnO ₂ ²⁺ ions
Ac	ไม่มีสี ($5f^0$) (ไม่มีการถูกกลืน แสง)	-	-	-
Th	-	ไม่มีสี ($5f^0$) (ไม่มีการถูกกลืน แสง)	-	-
Pa	-	ไม่มีสี ($5f^1$) (2240, 2550, 2760)	ไม่มีสี	-
U	สีแดง ($5f^3$) (5200, 8800, 9000)	สีเขียว ($5f^3$) (5500, 6500)	-	สีเหลือง (4000, 4110, 4250)
Np	สีฟ้าหรือเข้มวัง ($5f^4$) (5520, 6610, 7875)	สีเหลือง-เขียว ($5f^3$) (5040, 7430, 8250)	สีเขียว	สีชมพูดิสสีแดง (4760, 5570)
Pu	สีฟ้าหรือเข้มวัง-เงิน ($5f^5$) (5600, 6000, 6030)	สีน้ำเงินเข้ม- น้ำตาล ($5f^4$) (4700, 6550, 8150)	สีแดง-ขาว	สีเหลืองเข้มสี ชนพูดิส (8330, 9530, 9830)
Am	สีชมพู $5f^6$) (5027, 8200)	สี kupfer	สีเหลือง (5131, 7151)	สี Run-coloured (6660, 9950)
Cm	ไม่มีสี ($5f^7$) (2368, 2680, 2774)	-	-	-



รูปที่ 4.5 สเปกตร้าคุณลักษณะ ของ U^{+3}, Np^{+3}, Pu^{+3}

Am^{+3} และ Cm^{+3} ในสารละลายกราเจือจาง (จาก W.T.Carnall

and P.R.Fields, "Lanthanide/Actinide Chemistry," Advances
in Chemistry Series, No.71, American Chemical Society, Washington,
D.C., 1967)

2. Am^{+3} และธาตุแยกที่ในก้อนมีเลขอะตอมนิ่งมากกว่า เช่น Cm^{+3} มีสีกษะสเปคตราคล้ายกันของธาตุแคนทานิก เนื่องจากเมื่อมีการเพิ่มเลขอะตอมนิ่ง 5f ออร์บิทัล มีสีกษะคล้ายกัน 4f ออร์บิทัลของธาตุแคนทานิก ธาตุแยกที่ในกรุ่นมีสีกษะสเปคตราแบบและหมื้อกัน

ส่วน Charge-transfer spectra เกิดขึ้นไก่กับแยกที่ในก้อนไก่และแบบแสงมีความเข้มสูงกว่า เนื่องจากการกระโถกช้านั้นพังงานใช้พังงานที่กว่า ส่วนการขอนหันของ 5f ออร์บิทัลของโลหะกับออร์บิทัลของลิแกนด์เป็นสาเหตุให้ความเข้มเพิ่มขึ้นนั้นเอง

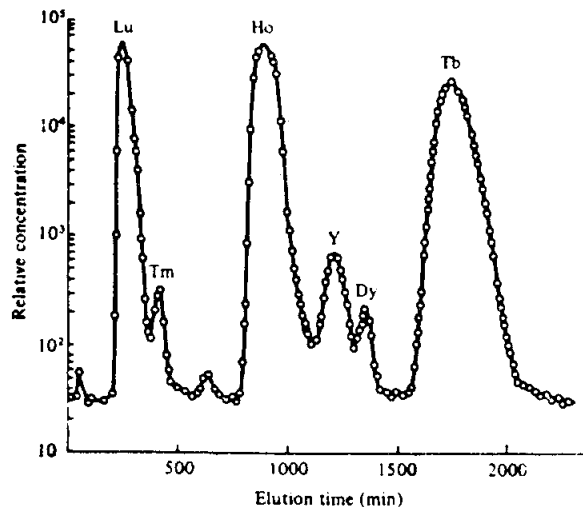
4.8 การแยกธาตุแคนทานิก (Separation of Lanthanides)

เนื่องจากธาตุแคนทานิกมีอักษรตัวซีเก็บเช่นเดียวกันทุกธาตุคือสารประกอบเกิดเป็นออกไซด์ M_2O_3 และไฮดรอกไซด์ M(OH)_3 ซึ่งความเป็นก้างของไฮดรอกไซด์ลดลง เมื่อเลขอะตอมนิ่งขึ้นเนื่องมาจากการลดขนาดของอิออนส่วนพากดไฮด์ริดที่สำคัญเป็นพากดตู้อิริยาบถจะลดลง การเพิ่มกรดไฮโกรเจนฟลูอิริกหรือฟลูอิริกจะถูกดักจับจากสารละลาย M^{+3} เป็น MF_3 จึงเป็นวิธีทดสอบว่าเป็นแคนทานิกหรือไม่

พวก Oxo salts ของธาตุแคนทานิกทั่วไปจะเกิดเป็น double salts เช่นในเกรก $\text{M(NO}_3)_3 \cdot 2\text{NH}_4\text{NO}_3 \cdot 4\text{H}_2\text{O}$ และพวกซัลเฟต $\text{M}_2(\text{SO}_4)_3 \cdot 3\text{Na}_2\text{SO}_4 \cdot 12\text{H}_2\text{O}$ ซึ่งการละจายของเกลือพากดนี้แม้จะออกเป็นสองพากดคือ Ce และ La-Eu group และ Ga-Lu และ Y group ไก่พากดอ่อนแรงจะละลายในสารละลายไฮเดรย์มัลติเพก ส่วนพากดแข็งจะละลายไก่ วิธีนี้จึงใช้เป็นวิธีการแยกกันธาตุแคนทานิกโดยง่าย ๆ

สำหรับการแยกธาตุแคนทานิกที่ง่ายมากไก่ยังกันและอ่อนของมันมีประดุจ เช่น เกี่ยวกันอีกตัวนั้น พากดยากและเสียเวลามาก อย่างไรก็ตาม

วิธีการของ โกรกราฟฟี่ (Chromatography) ใช้แยกชาตุแสบทามในก่อ กอก รากกันไก่ดังที่ อาศัยหลักการว่า เมื่อชาตุแสบในก็ เมื่อจะมีมากขึ้น ความเป็น กางจะลดลงตามลำดับ หรืออีกนัยหนึ่ง ความเป็นกรดเพิ่มขึ้นตามลำดับนั้นเอง ความ เป็นกรดที่เพิ่มขึ้นนี้ทำให้อ่อน เชาร์วนตัวกันลิแกนก็ ให้เป็นสารประกอบ โคลอคิเนชัน ไกรวากเรวชัน ในทางปฏิบัติ เมื่อบาํนสารละลายของชาตุแสบทามในก่อสัมพัน ชของ โกรกราฟฟี่ ใช้สาร เป็น complexing agent ซึ่งส่วนใหญ่เป็น citrate ion ໄล อ่อน สามารถแยกชาตุแสบทามในก่อจากกันได้ โภชนาต ที่ออกมานอก เป็นชาตุที่มีขนาดเล็กกว่า ตั้งแต่ ไว้ในรูปที่ 4.6 เนื่องจากชาตุที่มี ขนาดเล็กกว่า มีความเป็นกรดมากกว่า จึงรวมตัวกันลิแกนก็ ให้ก็กว่า



รูปที่ 4.6 การแยกชาตุแสบทามในก่อโดยวิธีโกรกราฟฟี่
โดยใช้สารละลาย 5% citrate ที่ pH 3.20 (จาก B.H.Ketelle and
G.E.Boyd, J.Amer.Chem.Soc., 69, 2800(1947))

4.9 คุณสมบัติแม่เหล็ก (Magnetic Properties)

(1) คุณสมบัติแม่เหล็กของแอนทานิโอ่อน

คุณสมบัติแม่เหล็กแบบพาราแมกเนติกของอ่อนหือะตอนเกิดมาจากการมีอิเลคตรอนเดี่ยวในออร์บิทัล ผังนั้นเนื่องจากหั้ง La^{3+} ($4f^0 5d^0 6s^0$) และ Lu^{3+} ($4f^{14} 5d^0 6s^0$) ซึ่งไม่มีอิเลคตรอนเดี่ยวจึงไม่มีคุณสมบัติอันนี้ ส่วน Ln^{3+} อื่น ๆ มีคุณสมบัติแม่เหล็กแบบพาราแมกเนติกได้

จากการที่ Ln^{3+} ส่วนใหญ่พังงานที่แยกกางระหว่างชั้น J levels ที่คิดคอกันของ Multiplet (Multiplet Width) นั้นมากเกินกว่าค่าของ kT เมื่อ k =Boltzman constant และ T คือ absolute temperature ก็จะนั่นจึงมี LS Coupling เกิดขึ้นมาก นั้นคือ LS coupling ของอิเลคตรอนเดี่ยวในชั้น $(n-2)f$ ออร์บิทัล นั้นค่อนข้างถูกปั้งคัวอยู่สัก จึงถูก 5f และ 5p อิเลคตรอนบังมาจากสิ่งแวดล้อม อื่น ๆ หรืออะตอนอื่นในสารประกอบของมัน (Crystal Field Effect) ผลก็คือ effective magnetic moments ของ Ln^{3+} (ยกเว้น Sm^{3+} และ Eu^{3+}) มีค่าดังนี้

$$\mu_{\text{eff}} = \mu_J = g \sqrt{J(J+1)} BM$$

ที่นี่ μ_{eff} = effective magnetic moments

g = Lande splitting factor ซึ่งมีค่าดังนี้

$$g = \frac{J(J+1)+S(S+1)-L(L+1)}{2J(J+1)}$$

ในที่นี่ S = resultant spin quantum number

L = resultant orbital quantum number

J = resultant inner quantum number ที่เกิดจากการ Coupling ของ L และ S

ค่าของ μ_{eff} ของเกลือซัลเฟตของ Ln^{3+} ที่คำนวนໄດ້ແສກໄວ້
ໃນตารางที่ 4.11 ເປົ້າຍເທີມກັນຄ່າ μ_{exp} ທີ່ໄດ້ຈາກການທົກສອງ ຂຶ່ງຈາກການ
ນື້ມຂອສເກຕັກຄອໄປນີ້

(1) ແພວກາ Ln^{3+} ສ່ວນໃນຖະໄກກາ μ_{eff} ເຫຼາຍໆ ກັນ
ທີ່ຈາກການຄ່ານານະແລ້ວຈາກການທົກສອງ ແກ້ມີການເພື່ອ Sm^{3+} ແລະ Eu^{3+} ທີ່ມີການ
 μ_{eff} ຕ່າງກັນมาก ເນື່ອງນາຈາກຮູບແບບຂອງອອນດັ່ງສອນນີ້ມີຄວາມແກກກ່າວໃນພລັງນານ
(multiplet width) ຮະຫວາງ J levels ທີ່ກີກກອກກັນນັ້ນຄອນຫັງເຫຼາຍໆ ກັນ
 kT ຈຶ່ງໄນ້ສາມາດໃຊ້ສຳກັນ (1) ນາກຳນວນໄກ້

(2) ສາනຮັບ $\text{La}^{3+}(4f^0)$, $\text{Gd}^{3+}(4f^7)$ ແລະ $\text{Lu}^{3+}(4f^{14})$
ນີ້ມີ Term Symbol ເປັນ S ທີ່ມີ L=0 ນັ້ນຄົວໄມ້ມີຄວາມອອຽນມາເກີ່ນວ່າຂອງເລຍ
ໃນການມີນີ້ເມື່ອ L=0 J=S ແລະ ດາວີ້ g=2 ແລ້ວ ສຳກັນ (1) ຈະເປັ້ນເປັນ

$$\mu_{\text{eff}} = \mu_S = 2\sqrt{S(S+1)}$$

$$\text{ຫຼັບ } \mu_{\text{eff}} = \mu_{\text{spin only}} = 2\sqrt{\frac{n}{2}(\frac{n}{2} + 1)} \\ = n(n+2)$$

ກ່າວ μ_{eff} ທີ່ກຳນວນໄກ້ໃນການມີນີ້ໄກ້ແສກໄວ້ໃນກາງທີ່ 4.11,
ທີ່ຈະພບວກາ μ_J ແລະ μ_S ສາනຮັບ La^{3+} , Gd^{3+} ແລະ Lu^{3+} ມີຄາເຫັນ
ເດີວກັນ

(2) ຄູ່ມືມີຄົນໝັ້ນເຫັນແລ້ວຂອງແອກທີ່ໃນກໍອອນ

ໃນອຸນຸກຮັນຂອງ 5f ພນວ່າ Pu^{3+} ແລະ Am^{3+} ມີພຸດທິກະຣຳມຄລ້າຍກັນ
 Sm^{3+} ແລະ Eu^{3+} ໃນອຸນຸກຮັນ 4f ອຳນວຍໄວ້ກີກູ່ມືມີຄົນໝັ້ນເຫັນແລ້ວຂອງ
ແອກທີ່ໃນກໍອອນຄອນຫັງອືນຍາຍໄກ້ຍາກກວ່າແລນຫາໃນກໍອອນ ພນວ່າຄາໄມ້ເນັດໝັ້ນເຫັນ
ທີ່ໄດ້ຈາກການທົກສອງມັກກ່າວ່າຈາກທີ່ກຳນວນໄກ້ໄກຍໃຊ້ກູ້ຂອງ Russell-Saunders

Coupling Scheme เห็นได้เมื่อมากกว่าที่ 5fⁿ อิเล็กตรอนอยู่ในลักษณะเดียวกันสักหนึ่งชุดและมีอิทธิพลต่อการประมวลผลเชิงขั้นตอนของสมบัติในที่นี้

สมการที่ใช้สำหรับคำนวณค่า molar susceptibility (χ_M) คือ

$$\chi_M = \frac{Ng^2\beta^2J(J+1)}{3kT} + N\alpha$$

N = Avogadro's number

g = Lande splitting factor

$$g = 1 + \frac{S(S+1) + J(J+1) - L(L+1)}{2J(J+1)}$$

$$\beta = \text{Bohr magnetron} = \frac{eh}{2\pi mc} = 9.27 \times 10^{-21} \text{ erg/gauss}$$

J = Total angular momentum

$$= |L + S|$$

k = Boltzmann constant

T = Absolute temperature

α = small temperature independent term due to second order Zeeman effect

สมการที่กล่าวมาสามารถใช้ได้กับอิเล็กตรอนในสภาพเป็นกลาดช่อง multiplet intervals (widths) ในสูตร เมื่อเทียบกับค่า kT และค่า J ที่ใช้ sama จากค่า ground state term symbols ของอิเล็กตรอน

เมื่อเปรียบเทียบค่า molar magnetic susceptibilities ของ Zn^{III} และ Al^{III} กับจำนวนของ 4f หรือ 5f อิเล็กตรอนแต่ พนava มีความคล้ายคลึงกันทั้งสองอนุกรม สำหรับ Ln^{III} และพบว่า มีค่าไม่แนบทิกต่ำลง

ตารางที่ 4.11 ค่าโมเมนต์แม่เหล็ก (μ_{eff} ในหน่วย B.M.) หักก้านวัสดุไกและ
หักกล่องไกของเกลือซัลเฟตของอิโอน Ln^{+3} ($n = \text{จำนวน}\text{ อิเลคตรอนเก็บไว้ใน } 4f \text{ ออร์บิทัล}$)

$\text{Ln}^{3+} \text{ ions}$	n	Term symbol	$S=n/2$	L	J	g	μ_J	μ_S	μ_{exp} (in B.M.)
$\text{La}^{3+}(4f^0)$	0	1S_0	0	0	0	-	0.00	0.0	0.00 (Diamagnetic)
$\text{Ce}^{3+}(4f^1)$	1	$^2F_{5/2}$	1/2	3	5/2	6/7	2.54	1.7	2.3-2.5
$\text{Pr}^{3+}(4f^2)$	2	3H_4	1	5	4	4/5	3.58	2.8	3.4-3.6
$\text{Nd}^{3+}(4f^3)$	3	$^4I_{9/2}$	3/2	6	9/2	8/11	3.62	3.9	3.5-3.6
$\text{Pm}^{3+}(4f^4)$	4	5I_4	2	6	4	3/5	2.70	4.9	-
$\text{Sm}^{3+}(4f^5)$	5	$^6H_{5/2}$	5/2	5	5/2	2/7	0.84	5.9	1.5-1.6
$\text{Eu}^{3+}(4f^6)$	6	7F_0	3	3	0	-	0.00	6.9	3.4-3.6
$\text{Gd}^{3+}(4f^7)$	7	$^8S_{7/6}$	7/2	0	7/2	2	7.94	7.94	7.8-8.0
$\text{Tb}^{3+}(4f^8)$	6	7F_6	3	3	6	3/2	9.70	6.9	9.4-9.6
$\text{Dy}^{3+}(4f^9)$	5	$^5H_{15/2}$	5/2	5	15/2	4/3	10.60	5.9	10.4-10.5
$\text{Ho}^{3+}(4f^{10})$	4	5I_8	2	6	8	5/4	10.60	4.9	10.3-10.5
$\text{Er}^{3+}(4f^{11})$	3	$^4I_{15/2}$	3/2	6	15/2	6/5	9.60	3.9	9.4-9.6
$\text{Tm}^{3+}(4f^{12})$	2	3H_6	1	5	6	7/6	7.60	2.9	7.1-7.4
$\text{Yb}^{3+}(4f^{13})$	1	$^2F_{7/2}$	1/2	3	7/2	8/7	4.50	1.7	4.4-4.9
$\text{Lu}^{3+}(4f^{14})$	0	1S_0	0	0	0	-	0.00	0.0	0.00 (Diamagnetic)

กันตี่ก้านวนໄກ แต่ Ac^{III} มีค่าต่ำกว่า ครุภัติ 4.7 ซึ่งเนื่องมาจาก 5f ชิเลกกรอนของอะลูมิโน่ในครystal field น้อยกว่า จึงทำให้ บทบาทของอะลูมิโน่ต่ำกว่า 4f อิเลกตรอนของแคนทานินค์

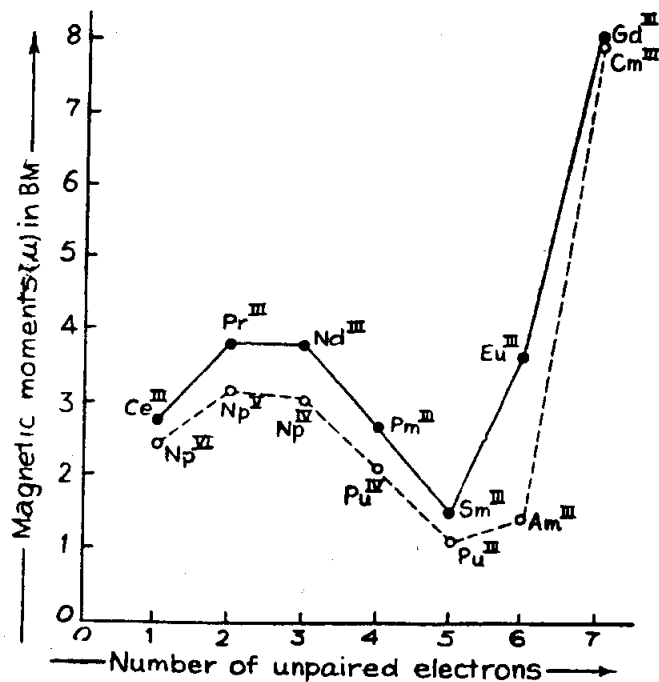
4.10 การนำเอารากถุนและสารประกอบของแคนทานินไปใช้ประโยชน์

ก. การนำเอารากถุนไปใช้ประโยชน์

(1) ชาตุแคนทานินมีคุณสมบัติเป็นตัวรีดิวชันที่แรง เช่น Ce เป็นตัวรีดิวชันที่แรงกว่า Al จึงใช้ใน metallocerothermic reactions ซึ่งเรียกว่า Lanthanido-thermic processes ซึ่งทำให้ชาตุถูก ฯ เนื่องจากมีความบริสุทธิ์ ไก Nb, Zr, Fe, Co, Ni, Mn, Y, W, R, B, และ Si นอกจากนี้ยังอาจใช้เป็นตัว de-oxidizing agents โดยเฉพาะอย่างยิ่งในอุตสาหกรรมของการผลิตทองแดง และของบล็อกของทองแดง

(2) แคนทานินรวมกับโลหะอื่นไกเรียกว่าเป็น mish-metal ซึ่งส่วนใหญ่จะมีส่วนผสมดังนี้ Ce(45-50%), La(25%), Nd(5%) และมีแคนทานินด้วย ฯ รวมทั้ง Fe และ Ca เป็นอย่างมาก ของผสมที่เรียกว่า Mish-metals นี้ใช้ในการผลิตเครื่องกล้า โดยเกิน 0.75% ของ mish-metal นี้ลงไปเพื่อให้มีคุณสมบัติพิเศษ เช่น ทนความร้อน ไม่เป็นสนิม และผลิตเพื่อสร้างเป็น เครื่องมือโดยเฉพาะ mish-metal นี้ยังเป็นสารใช้สำหรับถุงขับออกซิเจนและชัลเฟอร์ในขบวนการผลิต โลหะ

สำหรับ Mg-alloys ที่มี 30% ของ mish-metal และ 1% Zr ใช้ผลิตชิ้นส่วนของเครื่องยนต์เจ็ท (Jet engine) ถ้าผสมกับ 30% ของ เหล็ก จะเป็นตัวช่วยให้ความร้อนที่มีประสิทธิภาพมากในไฟฟ้า



รูปที่ 4.7 เปรียบเทียบกำลังแม่เหล็ก (B.M.) ของอิオンแคนนาในก์ (วงกลมดำ) และอิออนแมกนีก์ (วงกลมขาว)

(๙) การนำสารประกอบไปใช้ประโยชน์

(๑) ใช้ในอุตสาหกรรมเซรามิก (Ceramics)

CeO_2 , La_2O_3 , Nd_2O_3 และ Pr_2O_3 ใช้กันมากในการตกแต่งสีของแก้ว 1% ของ CeO_2 ใช้สนับในการทำแก้วซึ่งมีประโยชน์มากในทางนิวเคลียร์เทคโนโลยี เพราะแก้วเหล่านี้ไม่ปฏิกิริยาอะไร เมื่อจะถูกกัดและรังสีที่แรงมากก็สามารถป้องกันได้เนื่องจากแทนท่าในก้อนอุดไว้ด้วยสารดักซึ่งแสดงอุณหภูมิสูงถึง 1000°C จึงใช้เป็นศัลปะในแก้วเพื่อใช้ประโยชน์ค้างๆ เช่น หัวแหวนการกันแกด กอยเดิน Nd_2O_3 ลงในแก้ว หัวแหวนสามารถกันแสงแรงจ้าที่เกิดจากการเบ้าแก้ว เช่น ไอน้ำ กอยเดิน Nd_2O_3 และ Pr_2O_3 ลงในแก้ว นอกจากนี้ยังทำเป็นวงแหวนสำหรับป้องกันการแปรรูปสิ่งของ โภคภัณฑ์ Gd_2O_3 และ Sm_2O_3 ลงในแก้วเป็นพาน

ถ้าเพิ่มเกินกว่า 1% ของ CeO_2 จะทำให้แก้วมีสีน้ำตาล ส่วน Nd_2O_3 , Pr_2O_3 , และ $\text{Nd}_2\text{O}_3 + \text{Pr}_2\text{O}_3$ จะให้สีแกง สีเขียว และสีฟ้า ตามลำดับ

(๒) ใช้ในอุตสาหกรรมเกรียงเกลือน (Refractories)

CeS ซึ่งมีอุบัติภัยสูงถึง 2000°C ใช้ในอุตสาหกรรมการผลิตกรุซึ่งเป็นที่ใช้ในการหล่อโลหะ ในบรรยายการพื้นความกันตัว และที่มีอุบัติภัยสูงถึง 1800°C นอกจากนี้อาจใช้พากบดไว้กับการนำไป และชัดไฟฟ้าของแสงไฟในกําไฟเช่นกัน

(๓) ใช้เป็นผงรักแก้ว (Abrasives)

แสงไฟในก้อนอุดไว้กับใช้เป็นผงรักแก้วໄวก เช่นของบสมของ CeO_2 (47%), $\text{La}_2\text{O}_3 + \text{Nd}_2\text{O}_3 + \text{Pr}_2\text{O}_3$ (51%) + SiO_2 , CaO , Fe_2O_3 etc. (2%) มีชื่อว่า Polirite ใช้เป็นผงรักแก้วที่นิยมกันมาก

(4) ใช้เป็นสีสำหรับกระเบื้องพลาสติก

สารประกอบแผลท่านกใช้ในอุตสาหกรรมของสีที่ใช้พัฒนาในเนื้อกระเบื้องหรือหักไก่ เช่น Cerium molybdate ในสีเหลืองอ่อน cerium tungstate ในสีฟ้าเขียว ส่วนเกลือของ Nd ในสีแดง

(5) ใช้ในอุตสาหกรรมสิ่งทอและหนังสัค์

เกลือของซีเรียมใช้เป็นสีในอุตสาหกรรมการผลิตสิ่งทอ และใช้เป็น tenning agent ในอุตสาหกรรมหนังสัค์ $\text{Ce}(\text{NO}_3)_4$ ใช้เป็นสารที่ใช้ผสมสีเพื่อให้สีคงทนกับน้ำหรือตกดูที่ยอม (mordant) โดยใช้กับสี alizarin ส่วนคลอไรท์และอะโซติเก็ตของแผลท่านกทำให้ไม่เปียกน้ำและทนต่อการถูกของกรร

(6) ในทางการแพทย์และการเกษตร

เกลือ Salicylates ของ Pr และ Nd ใช้เป็นยาชากี้ Dimals เกลือของซีเรียมใช้สำหรับยาอาการคลื่นไส้และเม้าเรือ ส่วนเกลือของ Er และ Ce สามารถเพิ่มปริมาณของเม็ดเลือกแดง และชีวิตในเลือกไก่

ส่วนในทางการเกษตร สารประกอบของแผลท่านกใช้เป็นยาฆ่าแมลง (insectofungicides) และเป็นชาที่จำเป็นก่อพืชโดยผสมลงในน้ำ

(7) ใช้กับกระเบื้อง

เกลือของ La, Ce, Eu และ Sm ใช้เป็นตัวเรืองใน luminophores ใช้ในอุตสาหกรรมของการผลิตเทาแก๊ส (gas mantles) ในการเคลือบวัสดุหัวกระเบื้อง และสำหรับหัวฉายรังสี cathode-ray tubes

(8) ในทางเคมีเชิงประยุกต์

$\text{Ce}(\text{SO}_4)_2$ ใช้เป็นตัวออกซิไดซ์ในการติดเกรดแบบปรินิการ ส่วนไอโซโทปที่เป็นกัมมันกภาพรังสีของแผลท่านก เช่น ^{140}La , ^{142}Ce , ^{152}Eu

^{160}Tb ใช้ในการศึกษา Co-precipitation, chromatographic separation เป็นต้น

(9) ใช้เป็นตัวเร่งปฏิกิริยา

สารประกอบของแอลทานาในก์ใช้เป็นตัวเร่งปฏิกิริยา hydrogenation, dehydrogenation และออกซิเกชันของสารอินทรีย์ไปมาก
นาย สุวพิชัยพงษ์เพ็ชร์ใช้เป็นตัวเร่งปฏิกิริยาในการถ่ายน้ำมันปีໄກ เสี่ยม

(10) ใช้ในทางอิเลคทรอนิกส์

Ferri magnetic garnets ของ $3\text{Ln}_2\text{O}_3 \cdot 5\text{Fe}_2\text{O}_3$
ใช้เป็นส่วนผสมในเครื่องมือในโทร เวฟ

(11) ใช้ในหางนิวเคลียร์เทกโนโลยี

ชาตุแอลทานาในก์และสารประกอบของมันใช้ไปมากในหางนิวเคลียร์
เทกโนโลยี เช่นใช้ในการควบคุมเชื้อเพลิงนิวเคลียร์ ใช้เป็นเครื่องกัมมัง^{กัมมัง}
(shielding) และควบคุมการไหล (fluxing) ของเชื้อเพลิงนิวเคลียร์
นอกจากนี้ ^{147}Pr ใช้ในการผลิตอะตอมนิวเคลียร์

4.11 ราดูรานส์แอกทีไนค์ (Transactinides)

ในสมัยก่อนเรื่อว่า เป็นไปไม่ได้ที่จะศึกษาถึงเกณฑ์ของราดูรานส์แอกทีไนค์ แต่ในปัจจุบัน เนื่องจาก nuclear stability ของราดูรานส์แอกทีไนค์อย่างรวดเร็วเมื่อ เลขอะตอมมากขึ้น ส่วน半-life หรือช่วงครึ่ง (half -life) ของราดูรานส์แอกทีไนค์มีอายุสั้นเกินกว่าที่จะศึกษาถึงเกณฑ์ของราดูรานส์แอกทีไนค์ ($t_{\frac{1}{2}} \sim$ วินาที) อย่างไรก็ตาม จากความก้าวหน้าทางวิทยาศาสตร์และเทคโนโลยีในปัจจุบัน ได้ช่วยให้การศึกษาราดูรานส์แอกทีไนค์เป็นไปได้ เริ่มต้นจากการพัฒนาศาสตร์สามารถสังเคราะห์ราดูราน Md(101), No(102) และ Lr(103) ได้ หลังจากนั้นได้รากฐานแอกทีไนค์ 14 ราดูราน และท่อมา ก์สามารถสังเคราะห์ราดูรานส์แอกทีไนค์ได้อีกสองราดูราน คือ Rf (104) และ Ha (105)

ค่าแทนงของราดูรานส์แอกทีไนค์ในการที่ริออกติก

ราดูราน Lr(103) เป็นราดูรานสุดท้ายในอนุกรมของราดูรานส์แอกทีไนค์ โดยเดิมอยู่ใน 5f ออร์บิทัล จนถึง ส่วนราดูราน Rf(104) และ Ha(105) คาดคะเนได้ว่า เป็นราดูราน congeners ของราดูราน Hf(72) และ Ta(73) ตามลำดับ โดยอยู่ใน 6d ออร์บิทัล ถูกกำหนดไว้ 4.8 ชั่วโมง ไส้และแสดง การคาดคะเนถึงค่าแทนงของราดูรานส์แอกทีไนค์ และการเดิมอยู่ใน 6d ออร์บิทัล ก็จะไปเก็บที่ราดูราน eka-mercury(112) หลังจากนั้น อีกครั้งจึงเข้าเดิมที่ 7p ออร์บิทัล ที่ไป ไถ่ไป โดยเริ่มจากราดูรานที่ 113 ไปจนถึงราดูรานที่ 118 ซึ่งควรจะเป็นราดูรานในกลุ่มกําชในเบิล (noble gas) นั้นเอง ราดูรานที่ 119, 120, และ 121 ควรจะเป็นของกลุ่ม IA, IIA, และ IIIA ตามลำดับ ซึ่งราดูรานทั้งสองราดูรานรักการมีอิเล็กตรอนที่วันออก เป็น $8s^1$ และ $8s^2$ ตามลำดับนั้นเอง

H																				He	
1																				2	
Li	B																				
3	4																				
Na	Mg																				
11	12																				
K	Ca	Sc	Ti	V	Cr	Mn	Fe	Co	Ni	Cu	Zn	Ga	Ge	C	N	O	F	Ne			
19	20	21	22	23	24	25	26	27	28	29	30	31	32	33	7	8	9				
Rb	Sr	Y	Zr	Nb	Mo	Tc	Ru	Rh	Pd	Ag	Cd	In	Sn	Sb	Te	I	Br	Kr			
37	38	39	40	41	42	43	44	45	46	47	48	49	50	51	52	53	35	36			
Cs	Ba	La	Hf	Ta	W	Re	Os	Ir	Pt	Au	Hg	Tl	Pb	Bi	Po	At	Rn				
55	56	57	72	73	74	75	76	77	78	79	80	81	82	83	84	85	86				
Fr	Ra	Ac	Ru	Ha	(106)	(107)	(108)	(109)	(110)	(111)	(112)	(113)	(114)	(115)	(116)	(117)	(118)				
87	88	89																			
(119)	(120)	(121)	(154)	(155)	(156)	(157)	(158)	(159)	(160)	(161)	(162)	(163)	(164)	(165)	(166)	(167)	(168)				
Lanthanides	Ce	Pr	Nd	Pm	Sm	Eu	Gd	Tb	Dy	Ho	Er	Tm	Yb	Lu							
	58	59	60	61	62	63	64	65	66	67	68	69	70	71							
Actinides	Th	Pa	U	Np	Pu	Am	Cm	Bk	Cf	Es	Fm	Md	No	Lr							
	90	91	92	93	94	95	96	97	98	99	100	101	102	103							
Superactinides	(122)	(123)	(124)															(153)			

รูปที่ 4.8 ตารางพิริอโภกที่แสดงการคาดหมายถึงทำ mannของธาตุ
ทรายสแอดคทีโน่ สี่เหลี่ยมที่มีเงาดำทั้งสี่ด้านแสดงถึงธาตุที่ซึ่งกระบวนการที่ได้ และ⁺
สี่เหลี่ยมที่มีแค่ด้านขวาและด้านล่างเดียวแสดงถึงธาตุที่ยังไม่ได้ถูกค้นพบ (จาก G.Seaborg,
J.Chem.Educ.46, 626(1969))

สำหรับชาตุที่ 121 (eka-actinide) หากเป็นไปตามชาตุ ligther congeners ของมัน ก็จะภาคตะเน่ Gövá ชาตุที่ 121 ควรจะมีอิเล็กตรอนหนึ่งตัวเพิ่มที่ 7d ออร์บิทัล หลังจากนั้นชาตุก่อไปการจะเพิ่มที่ 6f ออร์บิทัลไปเรื่อยๆ แต่ Waber* พยายามว่ามีการผสานระหว่างระดับพลังงานของ 8s, 5g, 6f, 7d, 8p, etc., ซึ่งทำให้ภาคตะเน่ Gövá การจัดเรียงแบบ $8s^2 6f^1 5g^n$ หรือ $8s^2 7d^1 6f^3 5g^n$ อาจเกิดขึ้นได้ เมื่อเป็นเช่นนี้ Seaborg@ จึงเห็นว่าไม่เป็นการที่จะแยกเป็น $5g^{18}$ อนุกรมหนึ่ง และ $6f^{14}$ อีก อนุกรมหนึ่ง แต่ให้รวมเป็นอนุกรมเดียวกัน เรียกว่า Superactinide Series ซึ่งเมื่อเดินอิเล็กตรอนใน 6f ออร์บิทัล และ 5g ออร์บิทัล ชาตุที่ 153 และ ชาตุที่ 154-162 จึงถูกภาคตะเน่ไว้ว่า เป็นชาตุที่มีการเดินอิเล็กตรอนใน 7d ออร์บิทัล และชาตุที่ 164 การเป็นชาตุที่ถัดลงมาจากการ eka-lead เรียกว่า dvi-lead นั่นเอง

ในการภาคตะเน่ Gövá ของชาตุฐานสแอดทิโน่ จึงใช้หลักที่ว่าชาตุที่มีการจัดเรียงอิเล็กตรอนในห้วงของเดียวกัน ย่อมมีส่วนคล้ายกันมาก อย่างไร ก็ตาม การสังเคราะห์และการศึกษาดึงเคมีของชาตุฐานสแอดทิโน่เหล่านี้ยังเป็นที่ท่องการอย่างมาก และเป็นสิ่งที่ท้าทายความสามารถของนักวิทยาศาสตร์รุ่นใหม่ที่จะไป

- J.T.Waber, D.T.Cromer, and D.Liberman, *J.Chem.Phys.*, 51, 664 (1969); W.Greiner and B.Fricke, *Phys.Letters*, 30B, 317 (1969); J.B.Mann and J.T.Waber, *J.Chem.Phys.*, 53, 2397 (1970); B.Fricke, W.Greiner, and J.T.Waber, *Theoret.Chim.Acta(Berl.)* 21, 235 (1971)

@ G.T.Seaborg, *J.Chem.Educ.*, 46, 626 (1969)